

وزارة التعليم العالي والبحث العلمي
جامعة الدكتور مولاي الطاهر - سعيدة
كلية العلوم الاقتصادية والعلوم التجارية وعلوم التسيير

**مذكرة تخرج لنيل شهادة ماستر في العلوم الاقتصادية
تخصص الطرق الحكيمية في التسيير**

**التبؤ بمبيعات الفرينة لشركة مطاحن الفرسان سعيدة
باستخدام طريقة
- بوكس جنكينز و التمهيد الأسوي -**

أشراف الأساتذة :

أ. د. صوار يوسف

أ. ادريسى مختار

إعداد الطالبة :

ديناوي أنفال عائشة

أعضاء لجنة المناقشة :

الأستاذ بوصلاح عبد اللطيف رئيسا

الأستاذ صوار يوسف و ادريسى مختار مشرفا و مقررا

الأستاذ شيريفي جلول ممتحنا

السنة الجامعية : 2015-2016

كلمة شكر

أشكر الجليل المتعال على نعمه الواسعة لأنه أعطاني العلم
الذي هو ذروة الشرف و الحفظ من التلف فال توفيق منه و
إنارة ال درب المظلم منه و تيسير العسير منه

وشكري موصول الى أستاذى صوار يوسف الذى علمنى
كيف يكون الصعب سهلا و كيف نجني ثمرة العمل و الكد
و أثني على جهود الأستاذ دريسى مختار الذى لم يدخل
علي بعونه و تابعنى بكل حكمة و صبر ، جزاهم الله خير
الجزاء و جعلهما ذخرا للعلم و التربية

كما اهدي ثمرة هذا العمل إلى جميع أساتذتى و زملائي
المنتسبين إلى دفعه ماستر 2 الطرق الكميه في التسيير.

الاهداء

اهدي عملي المتواضع هذا الى الذي غمرني بعطفه فكان
سلاحي المعنوي في مواجهة الصعب إلى من رفعت
رأسني عاليًا افتخارا به ، إليك يا أبي الحبيب

والى التي لا أخال أنني أرد لها الفضل مهما قدمت من صنيع
لأنها احتضنتني بحنانها واحتوتني بسعة صدرها إليك يا
قدوتي الأولى ، يا أعظم قلب في الوجود

أمي لم تلوك يكتب الشعر و القصيد

وأهديتها أيضًا الى الأستاذ المحترم صوار يوسف الذي هو
مرجعنا و مدرستنا و كذا الأستاذ ادريسي مختار جزاهم الله
خير الجزاء .

دون أن أنسى إخوتي فوزي و بهاء مع تمنياتي لهم التوفيق
في دراستهما

المحتويات

		الملخص
		المحتويات
		قائمة الجداول
		قائمة الأشكال البيانية
-		مقدمة
1	الفصل الأول: مراجعة الأدبيات	
1	المبحث الأول : الإطار النظري	
34	المبحث الثاني : الدراسات السابقة	
38	الفصل الثاني: الدراسة التطبيقية	
38	المبحث الأول : الطريقة و الأدوات	
39	المبحث الثاني : نتائج الدراسة والمناقشة	
72		خاتمة
74		قائمة المصادر والمراجع
77		الملاحق

الفهرس

		المحتويات
		قائمة الجداول
		قائمة الأشكال
		قائمة الملحق
	أ	المقدمة
1		الفصل الأول : مراجعة الأدبيات
1		المبحث الأول : الإطار النظري
1		1- التنبؤ بالمبيعات
1		1-تعريف التنبؤ
2		2-مفهوم التنبؤ بحجم المبيعات
2		3-أهداف التنبؤ بالمبيعات
3		4-أهمية التنبؤ بحجم المبيعات
4		5-خطوات عملية التنبؤ
5		2-عرض السلسلة الزمنية
5		2-تعريف السلسلة الزمنية و الهدف من دراستها
6		2-الشكل النظري للسلسلة الزمنية و أسلوب تحديده
8		3-مركبات السلسلة الزمنية
10		2-الكشف عن مركبات السلسلة الزمنية
15		3-عرض طريقة التمهيد الأسني
16		1-3 التمهيد الأسني البسيط
16		2-التمهيد الأسني المزدوج
17		3-طريقة هولت
17		4-عرض طريقة بوكس جنكينز
18		1-4 مفاهيم عامة و أساسية
18		2-الصدمات العشوائية
18		3-السياق المستمر
19		4-دالة الارتباط الذاتي FAC
19		4-5 دالة الارتباط الجزئي FACP
20		4-6 معاملات التحويل
20		4-7 دالة التباين المشترك الذاتي
21		4-8-1 نماذج الانحدار الذاتي من الدرجة (P) AR
22		4-8-2 نماذج المتوسطات المتحركة MA(q)
26		4-9-4 منهاجية طريقة بوكس جنكينز
27		4-9-1 مرحلة التعرف
28		4-9-2 مرحلة التقدير

28	9-3 مرحلة الاختبار
31	9-4 مرحلة التنبؤ
34	المبحث الثاني : الدراسات السابقة
38	الفصل الثاني : الدراسة التطبيقية
38	المبحث الأول : الطريقة والأدوات
38	1- مجتمع وعينة الدراسة
38	2- أسلوب جمع البيانات
39	3- الأدوات المستخدمة في الدراسة
39	المبحث الثاني: نتائج الدراسة والمناقشة
39	1- تطبيق طريقة بوكس جنكينز
40	1- دراسة استقرارية السلسلة vente farine
56	2- مرحلة التعرف
56	3- مرحلة التقدير
57	4- مرحلة التشخيص
64	5- مرحلة التنبؤ
66	2_ تطبيق طريقة التمهيد الآسي لهولت و وينتر
66	1- دراسة مركبات سلسلة مبيعات الفرينة
67	2- مرحلة التنبؤ
71	خلاصة الفصل
72	خاتمة عامة
74	قائمة المراجع

قائمة الجداول

الصفحة	عنوان الجدول	الرقم
43	يمثل نموذج الانحراف المعياري بدلالة الوسط الحسابي	01
44	يمثل النموذج الثالث لدiki فولر	02
45	يمثل النموذج الثاني لدiki فولر	03
47	Correlogramme لسلسلة مبيعات الفرينة	04
48	معاملات المركبات الفصلية بالشهور	05
50	Correlogramme farsa للسلسلة	06
51	النموذج الثالث لاختبار دiki فولر	07
52	النموذج الثاني لاختبار دiki فولر	08
53	النموذج الاول لاختبار دiki فولر	09
54	اختبار الفروقات من الدرجة الاولى بالنسبة للنموذج الثاني	10
55	اختبار الفروقات من الدرجة الاولى بالنسبة للنموذج الاول	11
56	التمثيل البياني لدالة الارتباط الذاتي و الارتباط الذاتي الجزئي	12
57	يبين معايير AIKAIKE .Schwartz	13
57	تقدير نموذج MA(1)	14
59	التمثيل البياني لدالة الارتباط الذاتي للبواقي	15
61	التمثيل البياني لدالة الارتباط الذاتي مربع	16
63	اختبار ARCH	17
64	التنبؤات بطريقة بوكس جنكينز لسنة 2016	18
67	التنبؤات بطريقة التمهيد الآسي لسنة 2016	19
68	مقارنة بين نتائج البوكس جنكينز و المبيعات الحقيقة	20
69	مقارنة بين نتائج التمهيد الآسي و المبيعات الحقيقة	21

قائمة الأشكال

رقم الشكل	عنوان الشكل	الصفحة
01	الحالة التجميعية للسلسلة الزمنية	7
02	الحالة الجдائية للسلسلة الزمنية	7
03	مركبة الإتجاه العام حالة الميل الموجب	8
04	مركبة الإتجاه العام حالة الميل السالب	8
05	منحنى بياني لـ المركبة العشوائية	9
06	منحنى بياني يبين المركبة الفصلية	9
07	منحنى بياني لـ المركبة الدورية	10
08	مخطط مراحل طرقة بوكس جينكينز	26
09	الدراسة الوصفية للسلسلة الزمنية	40
10	التمثيل البياني لـ منحنى سلسلة الفرينة	41
11	اختبار التوزيع الطبيعي لـ الاخطاء	61
12	مبيعات الفرينة مع تنبؤاتها الشهرية بطريقة بوكس جنكينز لسنة 2016	65
13	مبيعات الفرينة مع تنبؤاتها الشهرية بطريقة التمهيد الاسي لسنة 2016	68

قائمة الملحق

رقم الملحق	العنوان	الصفحة
1	جدول ديكى فولر TABLE DE DICKEY FULLER	85
2	جدول توزيع كاي تريبيع TABLE DE LA LOI DU CHI DEUX	86
3	جدول تقدير النموذج MA(1)	87
4	جدول تقدير النموذج AR(1)	87
5	جدول تقدير النموذج ARIMA	88

الملخص :

إن التنبؤ بالمبيعات يؤدي إلى تحسين عملية التخطيط في أي منشأة صناعية أو خدمية خصوصاً بعد استخدام الأساليب الكمية في عملية التنبؤ ، حيث تستطيع المنشأة من خلال عملية التنبؤ بالمبيعات تقدير أرباحها و تكاليف الإنتاج و كذا تنفيذ استراتيجياتها التسويقية المالية و الاقتصادية من أجل ترقية المنتوج بما يتوافق مع معايير الطلب لدى المستهلكين .

في هذا البحث تم استخدام طريقة بوكس جنكينز و التمهيد الآسي للتنبؤ بمبيعات الفرينة لشركة مطاحن سعيدة ، و بعد دراسة كميات مبيعات منتوج الفرينة عن طريق برنامج EVIEWS7 أظهرت النتائج بعد مقارنة كلتا الطريقتين التمهيد الآسي و بوكس جنكينز أن كلتا الطريقتين تعطيان نتائج جيدة لكن تبقى دائماً طريقة بوكس جنكينز هي الأدق و الأحسن في التنبؤ القصير المدى .

الكلمات المفتاحية : التنبؤ بالمبيعات ، منهجة بوكس جنكينز ، طريقة التمهيد الآسي .

résumé

La prévision des ventes permettra d'améliorer le processus de planification dans toute installation industrielle ou de service Surtout après l'utilisation de méthodes quantitatives dans le processus de prévision ,ou l'entreprise peut estimer ses bénéfices d'après la prévision des ventes

Dans cette recherche on a utilisé la méthode de box jenkins et le lissage exponentiel pour faire la prévision des ventes de l'entreprise Et après avoir étudié les montants des ventes de produits de la farine En utilisant l'logiciel eviews 7.

A travers les résultats, et Après avoir comparé les deux méthodes il montre que les deux méthodes donnent de bons résultats , Mais toujours la méthode de Box Jenkins reste la plus précise .

مقدمة عامة:

مع التطورات الأخيرة للاقتصاد الوطني الناتجة عن تطبيق الجزائر لميكانيزمات اقتصاد السوق وتفتح هذه الأخيرة على المنافسة الداخلية والخارجية، لم يعد بإمكان المؤسسة الجزائرية مجمع الرياض لإنتاج الدقيق والفرينة (التي يبلغ معدل إنتاجها إلى حوالي 2 مليون قنطار سنويا) ، أن تبقى كهيكل منعزل عن هذه التطورات.

إلا أنه مع انتشار الشركات للاستفادة من وفرات الحجم وتخصص اليد العاملة وانفصال الملكية عن الإدارة وابتعاد هذه الأخيرة عن أماكن العمل والإنتاج وعن الإشراف الإداري المباشر، الأمر الذي أدى إلى تعدد مسؤولياتها بصورة جعلت التحكم في تسييرها أمرا صعبا، ومن أجل مسيرة التطورات والتحولات الاقتصادية، كان من الواجب على مسيري المؤسسة الاقتصادية مجمع الرياض التطلع إلى تدقيق وتحسين نوعية المعلومات والقرارات الناجمة عنها باستحداث أساليب وطرق مبنية على أسس علمية تمكناها من ممارسة جميع وظائفها الاقتصادية.

ونظراً للمسؤولية الملقاة على عاتقها والمتمثلة في الانتاج، التوزيع، والتسويق وجب عليها الحفاظ على سمعتها وتحقيق أكبر ربح ممكن مما يسمح لها بإثبات وجودها باستمرار من أجل ذلك ارتأينا الاستعانة بإحدى الطرق الإحصائية والتي من خلالها حاول الحصول على نتائج دقيقة وملموسة، ألا وهي عملية التنبؤ التي عرفت تطويرا كبيرا وتعددت مجالات استعمالها خاصة في عصرنا وهذا من أجل اتخاذ القرارات الصائبة مستقبلا.

وقد اخترنا في بحثنا هذا طريقة التنبؤ على المدى القصير وهي طريقة بوكس جنكينز وتمهيد الأسني والتي سنحاول تطبيقها على مبيعات الفرينة لمؤسسة مطاحن سعيدة والتي هي فرع من المجمع الرياض.

إن المؤسسة الناجحة هي التي تعتمد على التنبؤ في كل خطوة تنوي القيام بها مستقبلا باعتباره مصدر للمعلومات لكل أنشطة المؤسسة، ولكن المشكل لم يعد في اعتماد التنبؤ كوسيلة ولكن مع تعدد وتتنوع أساليبه نطرح الإشكالية التالية :

ما مدى إمكانية تطبيق طريقة تمهيد الأسني وبوكس جنكينز للتنبؤ بمبيعات منتوج الفرينة لمؤسسة مطاحن سعيدة ؟

ولكي نتمكن من الاجابه على هذا التساؤل تم طرح عدة أسئلة فرعية تتمثل في:

1- هل يتم التنبؤ بالمبيعات لمنتج الفرينة في شركة مطاحن سعيدة ؟

2- ما هو نوع التغيرات في الطلب على مبيعات منتج الفرينة للمؤسسة ؟

3- ما هي الطريقة الأكثر ملائمة للتنبؤ بمبيعات منتج الفرينة لشركة مطاحن سعيدة

فرضية البحث :

وللإجابة على هذه التساؤلات قمنا بوضع الفرضية التالية:

1- استخدام طرق التنبؤ قصير المدى (التمهيد الأسوي و بوكس جنكينز) للتنبؤ بمبيعات فرينة شركة مطاحن سعيدة يساعد في تقاضي مشاكل انحراف العرض عن الطلب لأن منتج الفرينة من المنتوجات ذات الطلب الواسع .

أهمية الموضوع :

إن أهمية الموضوع تكمن في إبراز دور عملية التنبؤ في ترشيد القرارات وتقاضي الخسائر المحتملة جراء تكديس المنتوجات أو العكس، بالإضافة إلى كونه بحثاً ميدانياً يمكننا من الاحتكاك أكثر بواقع المؤسسات الجزائرية.

المنهج المستخدم:

اعتمدنا في دراستنا لهذا الموضوع على المنهج الإحصائي والتحليلي لدراسة التنبؤ بمبيعات منتج الفرينة لمطاحن سعيدة بالاعتماد على طريقتي بوكس و جينكينز و طريقة التمهيد الأسوي و التي تعتمد على تحليل السلسل الزمنية واستخدمنا الأدوات الإحصائية مع الاستعانة ببرنامج EVIEWS .

محتوى الدراسة:

تم تقديم هذه الدراسة وفق طريقة IMRAD حيث تضمنت المذكرة فصلين، حيث قسم الفصل الأول إلى مباحثين الأول تضمن الجانب النظري و المبحث الثاني تضمن الدراسات السابقة أما الفصل الثاني فتضمن أيضاً مباحثين الأول عرضت فيه الطريقة و الأدوات المستعملة أما الثاني فكان يحتوي نتائج الدراسة و المناقشة من خلال تطبيق طريقتي بوكس جنكينز و التمهيد الأسوي

الفصل الأول: مراجعة الأدبيات

إن دراسة السلسل الزمنية لها أهمية كبيرة لما تقدمه من معلومات حول العناصر الأساسية التي تتميز بها ظاهرة ما عبر الزمن، ومن خلال متابعة تغيراتها وتطورها العام يمكننا بصورة جيدة من معرفة كيفية تطورها مستقبلا كما يساعدنا في تحديد مختلف العوامل المؤثرة على هذه الظاهرة.

سنطرق في هذا الفصل إلى ماهية التنبؤ وعرض السلسلة الزمنية (تعريفها و الكشف عن مركباتها) ثم نتعرض إلى طرق التنبؤ التي تتمثل في طريقة التمهيد الأسني و طريقة بوكس جنكيز .

المبحث الأول: الإطار النظري :

سنعرض في هذا المبحث الى دراسة إحصائية مفصلة للسلسلة الزمنية بحيث نبدأ بتعريف مبسط للتنبؤ وللسلاسلة الزمنية والهدف من دراستها والشكل النظري لها ثم ننتقل في المبحث الثاني الى مركباتها وطرق الكشف عنها.

1-التنبؤ بالمبيعات

1-1 تعريف التنبؤ:

- يعرف التنبؤ: بأنه النقطة الأساسية والضرورية لجميع وسائل التسبيير لأنه يمثل قراءة لما يكون عليه لمستقبل¹.

- ويعرف على أنه عملية عرض حالي للمعلومات المستقبلية بإستخدام معلومات مشاهدة تاريخية بعد دراسة سلوكها في الماضي فالتنبؤ هو معرفة قيمة مستقبلية لمتغير داخلي لفترات مستقبلية وهذا لهدف قد يكون معرفة مقدار المبيعات أو الدخل

- الوطني أو غير ذلك².

- وبالتالي يعرف التنبؤ بالمبيعات بأنه قيمة المبيعات في المستقبل والتي يمكن أن تحصل في ظل الظروف الاقتصادية والاجتماعية المحتملة³.

¹ T. Cuyaubere et J. Muller "control de gestion "la villeguerin éditions,Paris ,1991,p31

مولد حشمان " نماذج وتقنيات التقدير قصير المدى "ديوان المطبوعات الجامعية ،بنعkenون،الجزائر ،2002 ،ص177

³ محمود جاسم الصميدعي،ردينة عثمان يوسف " مدخل في الاقتصاد الإداري " دار المناهج للنشر والتوزيع،الأردن،ط1،2006،ص18

1-2 مفهوم التنبؤ بحجم المبيعات :

حاول العديد من مؤلفي الإدارة و الاقتصاد إيجاد تعريف للتنبؤ بحجم المبيعات و لعل من بين أبرز هذه المحاولات مايلي :

تعريف أول : التنبؤ بالمبيعات يعطي مؤشراً عن حجم المبيعات المتوقعة و الذي يمكن تحقيقه من سلعة أو مجموعة من السلع خلال فترة زمنية مقبلة و في ضوء خطة تسويقية معينة (علي رابعة، فتحي ذياب ،2010)⁴

تعريف ثانٍ: التنبؤ بحجم المبيعات هو عبارة عن تغطية و استيفاء لمجموع دراسات بهدف تحديد و بأكبر وضوح و دقة ممكنة لرقم الاعمال بالكمية و القيمة للمؤسسة ككل و لكل مسؤول له علاقة بادارة المبيعات (thierry cuyaubere.jacques muller.1991)

تعريف ثالث: التنبؤ بحجم الطلب هو تقدير حجم و توقيت الطلب الكلي على منتجات المنظمة على مدى فترات زمنية قادمة (أحمد سيد مصطفى , 1999)⁵

1-3 أهداف التنبؤ بالمبيعات :

تهدف المؤسسة عند استخدامها لأحد نماذج التنبؤ بالمبيعات بطريقة علمية وسليمة إلى تحقيق مايلي⁶:

- يعد التنبؤ بالمبيعات أساساً لعملية التخطيط لكافة الأنشطة الإدارية في المؤسسة حيث يمثل الأساس الذي تتبنى منه بقية الخطط الفرعية في المؤسسة مثل الخطة التسويقية وخطط التمويل وخططة الإنتاج والموارد البشرية.... الخ.

- يعتبر الأساس عند إتخاذ القرارات التسويقية مثل قرارات التسويق، الترويج، التوزيع، الإنتاج.

- يساعد التنبؤ بالمبيعات على تحديد الكميات المتوقع في المناطق البيعية، وبالتالي توزيعها على رجالاً لبيع بشكل أكثر عدالة و موضوعية.

- يساعد على توقع الصعوبات التي ستواجه المؤسسة مستقبلاً و وبالتالي الإعداد لمواجهتها.

⁴ علي رابعة فتحي ذياب ، ادارة المبيعات ،دار صفاء للنشر و التوزيع ، عمان ، 2010 ص 82

⁵ سيد احمد مصطفى ، ادارة الانتاج و العمليات ، الدار الجامعية ، الطبعه الرابعة ، الاسكندرية ، مصر ، 1999 ص 89

⁶ عوض منصور و عزام صبرى ، مبادئ الاحصاء ، دار الصفاء للنشر و التوزيع ، عمان ، الطبعة الاولى ص 69

- يعتبر أساسيا لنشاط الرقابة وتقييما للأداء في المؤسسة وبالتالي التعرف على الانحرافات أثناء عملية التنفيذ الفعلي.
- يساعد على تحديد وتوزيع التكاليف وذلك على أساس القدرة المالية المتوقعة للمؤسسة من خلال توقع المبيعات.

4- أهمية التنبؤ بحجم المبيعات

يتيح التنبؤ معلومات ومؤشرات تسترشد بها الإدارة عموماً وإدارة المبيعات وإدارة الإنتاج والعمليات بشكل خاص في تصميم الأهداف والاستراتيجيات الإنتاجية ، كما تقييد تلك المعلومات و المؤشرات في عملية صنع قرارات الإنتاج و العمليات . الأمر الذي يوضح أهمية هذه العملية في التخطيط لجميع الأنشطة في المنشأة بحيث يمكن الاعتماد عليها فيما يلي : (محمود ج الصميدعي ، ردينة ع يوسف ، 2006⁷)

- تقديم المنتجات التي تلبي حاجات ورغبات المستهلكين وفقاً للمؤشرات الخاصة لاتجاهات الطلب .
- استخدام الموارد المتوفرة لدى المنظمة في إنتاج المنتجات التي يقع عليها الطلب في السوق .
- وضع الميزانيات التقديرية للمبيعات .
- يعتبر الأساس في تخطيط في مجل أنشطة المنظمة الإنتاجية و التسويقية و البيعية
- تقدير الإدارات المحتمل الحصول عليها في المستقبل .
- تقدير تكاليف الأنشطة التي سوف يتم تنفيذها .
- تحديد الأسعار بالشكل الذي يتسم وطبيعة السوق و قدرات المستهلكين وذلك وفق الإرادات و التكاليف المتوقعة .
- تحديد نفقات الترويج اللازم إنفاقها ، وذلك وفقاً للمبيعات المتوقعة .
- مراقبة نشاط إدارة المبيعات و رجال البيع و معرفة مدى كفاءتهم في تنفيذ المبيعات المتوقعة (المخطط لها)

⁷ محمود جاسم الصميدعي ، ردينة عثمان يوسف ، مدخل في الاقتصاد الإداري ، دار المناهج للنشر والتوزيع ، عمان ، 2006 ص 95

- يعتبر أساس تخطيط المبيعات
- **5- خطوات عملية التنبؤ:** يمكن ان نعرض خطوات التنبؤ تدريجياً كمالي⁸ :
 - تحديد الغرض من القيام بالتنبؤ و ذلك لأن المعلومات الخاصة بالتنبؤ يستخدمها مدروا الوظائف المختلفة في مباشرتهم و اتخاذهم لقراراتهم الإدارية .
 - جمع البيانات التاريخية سواء عن الاتجاهات الاقتصادية من المستدات الحكومية أو سجلات الشركة ، وفي حالة المنتجات الجديدة والتي لا تتوفر عنها البيانات الإحصائية التاريخية قد يكون من الضروري استخدام البيانات المتاحة عن منتجات متشابهة أو منافسة .
 - عرض البيانات التاريخية على رسم بياني لتحديد مدى وجود نمط معين لاتجاه البيانات سواء أظهرت وجود دورة معينة للبيانات او وجود بيانات باتجاهات موسمية تمكن من توقع البيانات في المستقبل و يجب تخلص تقنية البيانات التاريخية من اي أحداث حذفت في الماضي و ربما لا يتكرر حدوثها في المستقبل .
 - اختيار نموذج للتنبؤ و الذي قد يستخدم في المواقف الإدارية المختلفة وعلى مدير إدارة الإنتاج و العمليات تطبيق النموذج الذي يتماشى مع احتياجاته.
 - إجراء التجارب التي تظهر مدى صحة الطرق التي استخدمت في التنبؤ بالقيم الحقيقية التي ظهرت خلال الفترة الماضية و عادة ما يستخدم الأسلوب الذي يتيح اصغر متوسط للخطأ و نستخدمه للتنبؤ بالفترة القادمة .
 - استخدام أسلوب التنبؤ بقيم المتغيرات التابعة اثر حدوثها خلال فترة التنبؤ و يلاحظ هنا استخدام الأساليب لإنشاء مستوى تحليل موثوق به
 - إدماج التأثير الخاص بالعوامل الداخلية و الخارجية على النتائج التي يتم الحصول عليها باستخدام أسلوب معين للتنبؤ .
 - متابعة نتائج تطبيق أسلوب التنبؤ عن طريق تسجيل الأداء الفعلي و مراقبة خطأ التنبؤ و

⁸ سونيا محمد البكري ، ادارة الانتاج و العمليات ، الدار الجامعية ، الاسكندرية مصر ، 2001 ص 70

- على المدير أن يقرر على فترات ما إذا كانت عمليات التنبؤ الحالية تؤدي إلى تنبؤ مقبول
- إذا كان الأمر كذلك فان الأسلوب الذي تم اختياره يستمر في تطبيقه أما في حالة عدم قبول مقدار الخطأ لتجاوزه فهو مسموح به في هذه الحالة نحتاج إلى أسلوب تنبؤ جديد وهنا نعود إلى الخطوة الثالثة و هكذا تتكرر الدورة في كل مرة .
- استخدام الموارد المتاحة لدى المنظمة في انتاج المنتجات التي يقع عليها الطلب في اسوق .
- وضع الميزانيات التقديرية للمبيعات .
- يعتبر الأساس في تخطيط في مجلـم أنشطة المنظمة الإنتاجية و التسويقية و البيعية
- تقدير الإدارـات المحتمـل الحصول عـلـيـها في المستـقبل .
- تقدير تكاليف الأنشطة التي سوف يتم تنفيذـها .
- تحديد الأسعار بالشكل الذي يتسم وطبيعة السوق و قدرات المستهلكـين وذلك وفق الإرادـات و التكاليف المتوقـعة .
- تحديد نفقات الترويج اللازم إنفاقـها ، وذلك وفقا للمبيعـات المتـوقـعة .
- مراقبـة نشـاط إـدارـة المـبيـعـات و رـجالـ الـبـيعـ و مـعرفـة مـدى كـفاءـتهم في تنـفيـذـ المـبيـعـات المتـوقـعة (المخطط لها)
- يعتبر أساس تخطيط المبيعـات .

2-عرض السلسلـة الزمنـية :

2-1تعريف السلسلـة الزمنـية و الـهدف من دراستـها

تعريف السلسلـة الزمنـية: هي عـبـارة عن قـيم ظـاهـرة من الـظـواـهر في سـلـسلـة توـارـيخ متـلاـحة، أيـاماً أو أـشـهـر أو سـنـوـات وـالـهـدـفـ من وـرـاء تـحلـيل سـلـسلـة زـمـنـية هو درـاسـة التـغـيـراتـ التي تكون قد طـرـأتـ على الـظـاهـرةـ التي تمـثلـهاـ خـلـالـ فـتـرةـ منـ الزـمـنـ وـتـحلـيلـ أـسـبـابـهاـ وـنـتـائـجـهاـ أوـ التـنبـؤـ إـعتمـادـاـ عـلـىـ فـكـرةـ مـدـ حـوـادـثـ المـاضـيـ لـلـمـسـتـقـبـلـ، فالـتـنبـؤـ لـلـمـبيـعـاتـ المـسـتـقـبـلـيةـ مـثـلاـ يـمـكـنـ الإـدـارـةـ منـ تـخـطـيطـ اـحـتـيـاجـاتـهاـ مـنـ عـمـالـةـ وـمـوـادـ أـولـيـةـ وـمـوـادـ أـخـرىـ بـحـيثـ تـصـبـحـ فـيـ مـتـاـولـ الـيدـ عـنـ الـإـحـتـيـاجـ إـلـيـهاـ.

تحتوي السلسلة الزمنية على متغيرين أحدهما هو الزمن وهو المتغير المستقل ويرمز له بالرمز t والثاني هو قيمة الظاهرة وهو المتغير التابع ويرمز له بالرمز $x^{(9)}$.

الهدف من دراسة السلسلة الزمنية:

- التعرف على التغيرات التي تطرأ على السلسلة الزمنية.
- التعرف على أسباب ونتائج هذه التغيرات.
- التعرف على العلاقة وطبيعتها بين الظاهرة ومختلف السلسل الزمنية الأخرى.
- التنبؤ بقيمة الظاهرة غير الموجدة في السلسلة الزمنية.

2-الشكل النظري للسلسلة الزمنية و أسلوب تحديده

الشكل النظري للسلسلة الزمنية: يمكن تحديد ثلاثة أشكال وهي:

الشكل التجميعي: هذا الشكل يمثل علاقة تجمعية بين مركبات السلسلة الزمنية X وهذا بشرط أن تكون المركبات مستقلة عن بعضها البعض وتعرف رياضياً بالعلاقة التالية:

$$X_t = T_t + C_t + S_t + \varepsilon_t$$

الشكل الجدائي: هذا الشكل يمثل العلاقة الجدائية بين مركبات السلسلة الزمنية X مع وجود ارتباط بين هذه المركبات ويعرف رياضياً بالعلاقة التالية:

$$X_t = T_t \times C_t \times S_t \times \varepsilon_t$$

الشكل المختلط: يمثل علاقة تجمعية وجدائية في آن واحد بين مركبات السلسلة الزمنية X ويعرف رياضياً بالعلاقة التالية:

$$X_t = T_t \times S_t + C_t + S_t \times \varepsilon_t$$

وهذا الأخير الأكثر استعمالاً في الاقتصاد:

أسلوب تحديد الشكل النظري للسلسلة الزمنية:

لمعرفة الشكل الذي تتبعه السلسلة الزمنية هناك أسلوبين بياني وإحصائي ولكن في أغلب

9 خالد زهدي خواجة، السلسلة الزمنية، جامعة بغداد، 2006، ص: 52.

الأحيان الأسلوب البياني لا يكون كافياً لوحده وذلك لقلة دقته¹⁰.

الأسلوب البياني: إن الاختبار البياني من ملاحظة المنحنى الذي يمثل تطور السلسلة الزمنية

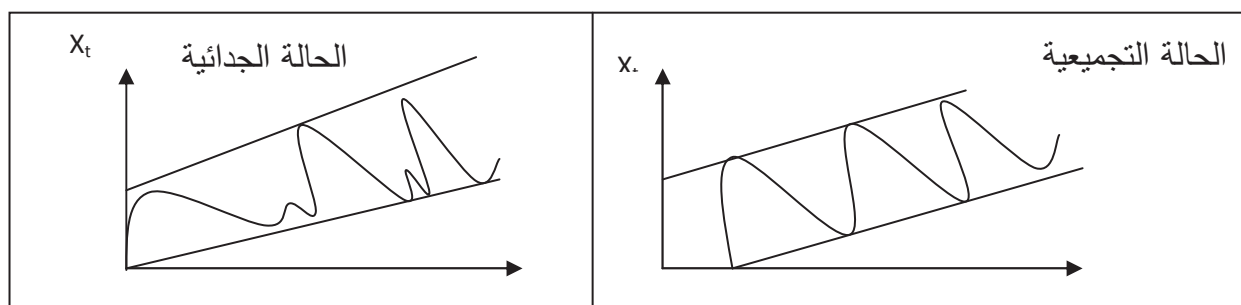
, والذي ينحصر بين خطين يتضمنان القيم الصغرى و القيم العظمى للسلسلة فإذا كان هذان

الخطان متوازيان فالسلسلة تأخذ الشكل التجمعي (الشكل1)

أما إذا كانت السلسلة الزمنية , X محصورة بين خطين منفرجين فإن السلسلة تأخذ الشكل

الجداي (الشكل2)

الشكلين(02) (01)الحالة التجميعية و الحالة الجدائية.



المصدر: من عمل الطالبة

الأسلوب الإحصائي¹¹: وهو يعتمد على تقدير المعادلة التالية:

$$i = 1 \dots m$$

حيث m عدد السنوات

$$j = 1 \dots p$$

$$\bar{X}_i = \frac{1}{P} \sum_{j=1}^P x_{ij}$$

ومنه نحصل على المعادلة الآتية:

$$\delta_i = \sqrt{\frac{1}{P} \sum_{j=1}^P (x_{ij} - \bar{X}_i)^2} \dots \dots \dots (1)$$

وباستعمال طريقة المربيعات الصغرى(MCO) يمكن تقدير المعلمة b كما يلي:

¹⁰Régis bourbonnais et Michel Tiraza, « analyse des séries temporelle en économiques » Edition, Presses P81 Universitaires de France (PUF) , 1998, P18.

¹¹مولود حشمان ، مرجع سابق الذكر ، ص81.

$$\hat{b} = \frac{\sum_{i=1}^m \delta_i \bar{X}_i - m \bar{\delta} \bar{\bar{X}}}{\sum_{i=1}^m \bar{X}^2_i - m \bar{\bar{X}}^2} \dots \dots \dots (2)$$

$$\bar{\bar{X}} \bar{\delta} = \frac{1}{m} \sum_{i=1}^m \delta_i = \frac{1}{m} \sum_{i=1}^m \bar{X}_i$$

وهكذا نقول عن السلسلة أنها ذات:

– شكل تجمعي إذا كان: $\hat{b} < 0.05$

– شكل جدائی إذا كان: $\hat{b} > 0.10$

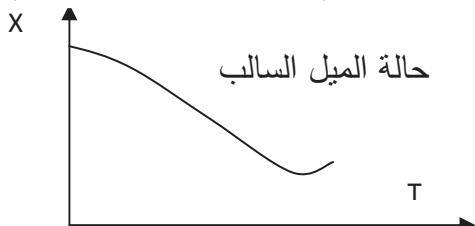
– شكل مختلط إذا كان: $0.05 < \hat{b} < 0.10$

2-مركبات السلسلة الزمنية: يقصد بها العناصر المكونة للسلسلة الزمنية وهي تفيد في

تحديد سلوكها في الماضي وكذا في المستقبل، يمكن إدراج هذه المركبات في العناصر التالية:

مركبة الإتجاه العام:¹² هي عبارة عن التغير المنتظم للمشاهدات و الظواهر الإقتصادية خلال فترة زمنية سواءً كان هذا التغير بالزيادة أو بالنقصان، ويكون تغيرها إما: ذو نمط تحديدي أو نمط عشوائي ويرمز لها بالرمز A ويمكن أن تأخذ الشكلين التاليين:

الشكل رقم (04) مركبة الإتجاه العام



الشكل رقم (03) مركبة الإتجاه العام



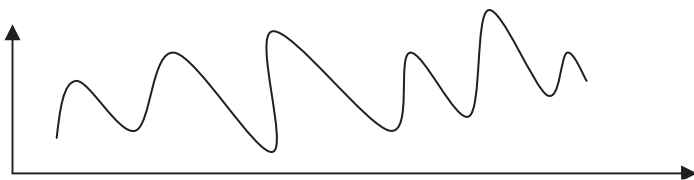
المصدر: مولود حشمان ، 1998 ، ص 13

المركبة العشوائية: وهي تمثل تلك التغيرات التي تع نتیجة سبب طارئ غير متوقع، أي تعبر عن تلك التذبذبات غير المنتظمة ذات فترة زمنية قصيرة مثل: الحروب، الزلزال، التي تؤثر على

¹²مولود حشمان تقنيات، مرجع سابق الذكر، ص 14

المستوى الاقتصادي للبلاد ويرمز لها بالرمز (I)

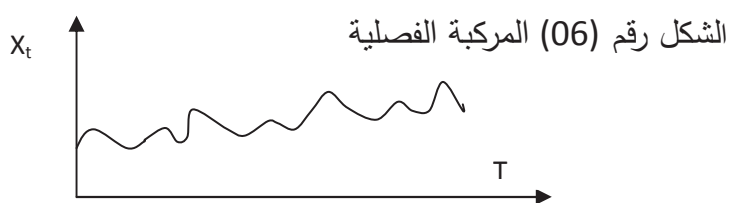
الشكل رقم (05) يوضح المركبة العشوائية



المصدر: مولود حشمان ص 15

لمركبة الفصلية: هذه المركبة تشير إلى التغيرات التي تظهر في الفصول المتاظرة خلال الأزمنة المختلفة التي أخذت فيها مشاهدة السلسلة الزمنية وهي ناتجة عن تأثير عوامل خارجية على متغير ما، بطريقة منتظمة وذلك خلال السنة

في حالة المعطيات الشهرية أو الفصلية أو الأسبوعية ويرمز لها بالرمز S

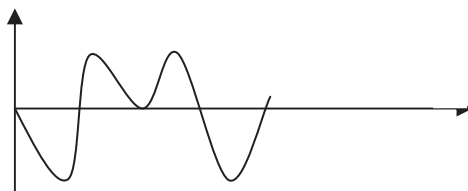


المصدر: مولود حشمان ص 13

مركبة الدورية : تمثل التغيرات الدورية الشبه منتظمة وهي تلك التغيرات التي تطرأ على الظاهرة من خلال فترة زمنية طويلة "أكثر من سنة"، أو بصفة عامة هذه المركبة تمثل تأثير عوامل خارجية على السلسلة الزمنية بشكل منتظم أو شبه منتظم وتبين أثر التطور الاقتصادي "التقدم التكنولوجي" ، مثلاً: كانتقال حالة الاقتصاد من الركود إلى الإنعاش ثم من الرواج إلى الركود وهذا ، فهي تشبه التغيرات الموسمية إلا أنها تتم في فترات أطول نسبياً من الفترات الموسمية، وبالمقارنة بالتغيرات الموسمية فإن طول الفترة الزمنية غير معلوم.

وإنما يتراوح بين 3 سنوات إلى 10 سنوات وبالتالي يصعب التعرف على التقلبات الدورية ومقاديرها، لأنها تختلف اختلافاً كبيراً من دورة إلى أخرى سواءً من حيث طول الفترة الزمنية للدورة أو اتساع تقلباتها ومداها، ونرمز لها بالرمز (C)

الشكل رقم (07) يوضح منحنى المركبة الدورية



المصدر: مولود حشمان ص 13

2- الكشف عن المركبات السلسلة الزمنية:¹³

الكشف عن مركبة الإتجاه العام: هناك اختبارين للكشف عنها هما:

الاختبار البياني: يعتمد هذا الإختبار على المنحنى البياني الممثل للسلسلة الزمنية حيث يمثل الإتجاه العام في تلك المركبة التي تدفع بالسلسلة الزمنية بزيادة في حالة الميل الموجب وبالنقصان في حالة الميل السالب بينما تتعكس المركبة الدورية في الشكل البياني قمم أو انخفاضات بشكل منتظم يسمح لنا بتحديد فترة حدوث الظاهرة كأن تكون في فصل او شهر معين بينما المركبة العشوائية تتمثل في عدم تركها المركبات المنتظمة ولكن نتائج الاختبار البياني غير دقيقة بالقدر الكافي لذلك نلجأ إلى الإختبارات الإحصائية.

الإختبارات الإحصائية: تعد هذه الإختبارات الكشف عن مركبة الإتجاه العام وأقواها، إذ أنها لا تعمل فقط على كشفها، بل تتعدى في عملها إلى تحديد الطريقة المناسبة التي تجعل السلسلة المدروسة تؤول إلى الاستقرار ومن بين الإختبارات الإحصائية الأكثر إستعمالاً نجد:

أ- إختبار الفروقات: من الطرق الأكثر أهمية وهو اختبار من الإختبارات الحرة والذي ينص على مبدأ إختبار الفرضية:

¹³ خليدة دلهوم ، اساليب التنبؤ بالمبيعات دراسة حالة ، مذكرة مقدمة لنيل شهادة الماجستير في العلوم التجارية ، جامعة الحاج لخضر ، باتنة ، كلية العلوم الاقتصادية و علوم التسيير، 2009 ص 35

H_0 : عدم وجود إتجاه عام

H_1 : وجود إتجاه عام

ويسمح لنا هذا الإختبار بالكشف عن وجود إتجاه عام للسلسلة الزمنية وذلك عن طريق حساب

$$\Delta X_t = X_t - X_{t-1}$$

حيث: X_t : تمثل قيمة للسلسلة الزمنية وفقاً للزمن t .

ثم نقوم بحساب (S) الذي يمثل عدد الفروقات الموجبة وعندما يكون لحجم العينة أكبر من 12 (نحو $N > 12$) فإنه يخضع للتوزيع الطبيعي، ذو أمل رياضي ($E(S)$) والتباين ($V(S)$) ومنه نجد:

$$E(S) = \frac{n-1}{2} \quad V(S) = \frac{n+1}{2} \quad \text{حيث: } S \rightarrow N(E(S)), V(S)$$

$Z = \frac{S - E(S)}{\sqrt{V(S)}}$: تمثل عدد المشاهدات نقوم بعدها بحساب Z كما يلي:

ونقارن قيمة Z بالقيمة المجدولة عند مستوى المعنوية $\alpha = 5\%$

أ. إذا كان $|Z| > 1,96$ نرفض H_0 ونقول أن السلسلة الزمنية تحتوي على مركبة الإتجاه العام.

ب. إذا كان $|Z| < 1,96$ نقبل الفرضية H_0 ونقول أن السلسلة الزمنية عشوائية.¹⁴

ب - **إختبار الجذور الأحادية(Dicky- Fuller):**

إختبار الجذور الأحادية لـ (DF) يمكننا من الكشف عن مركبة الإتجاه العام ويسمح لنا بالتعرف على الطريقة المتى والجيدة لاستقرار السلسلة TS أو DS ويعتمد هذا الإختبار على ثلاثة نماذج:

حيث: C ثابت

$$\text{النموذج الأول: } X_t = \phi_1 X_{t-1} + \varepsilon_t$$

مركبة الاتجاه العام bt

$$\text{النموذج الثاني: } X_t = \phi_1 X_{t-1} + C + \varepsilon_t$$

¹⁵ مختار بن قوية الحاج جبور، دراسة تنبؤية لمبيعات غاز البترول الممبع ، مذكرة تخرج لنيل شهادة مهندس دولة في التخطيط و الاحصاء المعهد الوطني للتخطيط و الاحصاء ، 2003 ص 56

النموذج الثالث: $X_t = \phi_1 X_{t-1} + b_t + C + \varepsilon_t$

ومنه فرضية هذا الإختبار هي:

$$\cdot \phi = 1 : H_0$$

$$\cdot |\phi| < 1 : H_1$$

إذا كانت الفرضية H_0 محققة في إحدى النماذج السابقة فإن السياق ليس مستقر عشوائي لذلك نستعمل إختبارات القيمة $(1 - \phi)$ بدلا من القيمة ϕ وبالتعويض في المعادلات نستعمل ΔX_t بدلا من X_t أي $(X_t - X_{t-1})$ فتصبح النماذج كالتالي:

النموذج الأول: $\Delta X_t = (\phi_1 - 1)X_{t-1} + \varepsilon_t$

النموذج الثاني: $\Delta X_t = (\phi_1 - 1)X_{t-1} + C_t + \varepsilon_t$

النموذج الثالث: $\Delta X_t = (\phi_1 - 1)X_{t-1} + C_t + b_t + \varepsilon_t$

فتصبح فرضية الإختبار كالتالي:

$$\cdot 0 = 1 - \phi : H_0$$

$$\cdot 0 < 1 - \phi : H_1$$

ونقوم بالإختبار على النحو التالي:

حساب $\hat{\phi}_1$ القيمة التقديرية لـ ϕ وذلك باستعمال طريقة المربعات الصغرى (MCO) للنموذج الأول و الثاني والثالث.

حساب t_c وذلك بطريقتين:

$$t_c = \frac{(\hat{\phi}_1 - 1)}{\sigma_{\hat{\phi}_1}} \quad \text{أو} \quad t_c = n(\hat{\phi}_1 - 1)$$

ثم نقارن t_c و t_t فإذا كانت $t_c > t_t$ نقبل الفرضية H_0 يوجد جذر أحادي والسياق غير مستقر. أما إذا كان $t_c < t_t$ نقبل الفرضية H_1 أي عدم وجود جذر أحادي و السياق مستقر.

أما في حالة في اختبار ديكري فولر المطور ADF فإن النماذج السابقة تتغير وتصبح على

الشكل التالي:

النموذج الرابع: $\Delta X_t = (\phi_1 - 1)X_{t-1} - \sum_{j=2}^p \phi_j \Delta X_{t-j+1} + \varepsilon_t$

النموذج الخامس: $\Delta X_t = (\phi_1 - 1)X_{t-1} - \sum_{j=2}^p \phi_j \Delta X_{t-j+1} + C_t + \varepsilon_t$

النموذج السادس: $\Delta X_t = (\phi_1 - 1)X_{t-1} - \sum_{j=2}^p \phi_j \Delta X_{t-j+1} + C_t + b_t + \varepsilon_t$

ملاحظة: إن اختبارات ديكري فولر لا تعمل فقط على كشف مركبة الإتجاه العام، ولكنها تعمل على تحديد الطريقة المناسبة لجعل السلسلة الزمنية مستقرة. ومن أجل ذلك نميز بين نوعين من النماذج:¹⁶

أ) السياق من النوع (DS): هذا السياق غير مستقر ويبرز عدم

استقرار عشوائي (Stochastic) وتأخذ الشكل:

$(1-B)^d X_t = c + \varepsilon_t$ ويمكن كتابتها كما يلي:

حيث: c ثابت حقيقي، B معامل التأخير، d درجة الفروقات

وفي الغالب نستعمل الفروقات من الدرجة الأولى في هذا السياق أي ($d=1$)

ونكتب: $(1-B)X_t = c + \varepsilon_t \Leftrightarrow X_t = X_{t-1} + c + \varepsilon_t$

ويأخذ السياق شكلين:

إذا كانت $c=0$ نسمى هذا السياق DS بدون ثابت ونكتب

إذا كانت $c \neq 0$ نسمى هذا السياق DS بوجود ثابت ونكتب

ب) السياق من النوع (TS): هذا السياق أيضاً غير مستقر ويبرز عدم

استقرارية تحديدية (deterministic) ويأخذ الشكل:

حيث f_t دالة كثیر حدود للزمن (خطية أو غير خطية) و ε_t صدمات عشوائية وأغلب هذا السياق إنتشاراً يأخذ شكل كثیر حدود ذي الدرجة (1)

¹⁶Régis bourbonnais, économétrique, dunod 4^{eme} édition paris 2002, P :231.

هذا السياق غير مستقر لأن المتوسط $E(x_t)$ متعلق بالزمن لكننا نستطيع جعله مستقرًا بتقدير المعالم a_0, a_1 بطريقة MCO.

الكشف على المركبة الفصلية: هناك عدة اختبارات للكشف عن المركبة الفصلية منها:

الاختبار البياني: بالاعتماد على التمثيل البياني يمكننا الكشف على المركبة الفصلية، ففي حالة وجودها فإنه يظهر لنا قمم (peaks) أو انخفاضات بشكل منتظم وفي نفس الفترات.

الاختبارات الإحصائية: من بين الاختبارات الإحصائية الأكثر استعمالاً نجد:

اختبار تحليل التباين: يتركز على نقطتين أساسيتين هما:

- أن تكون x_t دورية وذلك على حسب المعطيات أي أن $n = 4$ أو $n = 12$.

- نزع مركبة الاتجاه العام من السلسلة قبل الشروع في الكشف ولهذا الاختبار مبدأ أساسى هو:

H_0 : عدم وجود المركبة الفصلية تأثير الشهر و السنة.

H_1 : وجود تأثير الشهر و السنة.

وكل ملاحظة أو مشاهدة لها علاقة بالسنة و الشهر ونضع $X_{ij} = X_t$ حيث:

المعامل السنوي: $i = 1, \dots, n$

المعامل الشهري: $j = 1, \dots, m$

ومنه العدد الإجمالي للملاحظات $T = n \times m$

حيث:

$\bar{X} = \frac{1}{nm} \sum_{i=1}^n \sum_{j=1}^m X_{ij}$ حيث: \bar{X} هو المتوسط الحسابي لـ T

$\bar{X}_j = \frac{1}{n} \sum_{i=1}^n X_{ij}$ حيث: \bar{X}_j المتوسط الحسابي لكل شهر

$\bar{X}_i = \frac{1}{m} \sum_{j=1}^m X_{ij}$ حيث: \bar{X}_i المتوسط الحسابي لكل سنة

$V_t = \sum_{i=1}^n \sum_{j=1}^m (X_{ij} - \bar{X})^2 \frac{1}{nm}$ حيث: التباين الإجمالي لـ X_j

الجدول رقم (01) يمثل الشكل العام للتباین ودرجة الحرية:

مجموع المربعات	التباین	درجة الحرية
$S_M = n \sum_j^m (\bar{X}_j - \bar{X})^2$	$m - 1$	$V_M = \frac{S_M}{(m - 1)}$
$S_A = m \sum_i^n (\bar{X}_i - \bar{X})^2$	$n - 1$	$V_A = \frac{S_A}{(n - 1)}$
$S_R = \sum_{i=1}^n \sum_{j=1}^m (X_{ij} - \bar{X}_i - \bar{X}_j + \bar{X})^2$	$(m - 1)(n - 1)$	$V_R = \frac{S_R}{(m - 1)(n - 1)}$
$S_T = \sum_{i=1}^n \sum_{j=1}^m (X_{ij} - \bar{X})^2$	$n \times m - 1$	$V_T = \frac{S_T}{(n \times m - 1)}$

المصدر : regis bourbonnais optsit.p 13

ومنه نقوم بحساب القيمة: F_C ونقارنها مع F_{tab}

$$\frac{V_m}{V_R} = F_C \quad \text{حيث:}$$

والاختبار يكون:

رفض الفرضية H_0 وهذا يستلزم وجود المركبة الفصلية $F_{cal} > F_{tab}$

رفض الفرضية H_1 عدم وجود المركبة الفصلية $F_{cal} < F_{tab}$

3-عرض طريقة التمهيد الاسي:

تقنية التمهيد الاسي تستعمل في حالة السلسلة الزمنية ذات الإتجاه العام العشوائي، وهي مقدمة من طرف Holt سنة 1957م والتي أعتمدت فيما بعد من مشتقة نموذج (Brown) سنة 1962م، ويصطلاح عليه كذلك طريقة التصفية أو طريقة الترشيح، كونها عملية رياضية تقوم بتحويل متغيرة داخلية x_t إلى سلسلة زمنية خارجية¹⁷، كما أن مبدأ هذه الطريقة يقارب مبدأ طرق التمهيد بالمتواسطات المتحركة لكنها تختلف في كون نتائج هذه الطرق أكثر دقة وفعالية، كما أنها

¹⁷ مولود حشمان ، مرجع سابق الذكر

لاتحتاج إلى عدد كبير من الأرقام التاريخية ،
ان أسلوب التمهيد الأسوي هو نوع من أنواع المتواسطات المتحركة يستخدم بكثرة في التنبؤ ويطبق
بكفاءة عالية في الحاسوب تتضمن هذه الطريقة أسلوبين : التمهيد الأسوي البسيط و المرجح¹⁸

3-1 التمهيد الأسوي البسيط:

هذا الأسلوب يصلح للاستخدام في حالة السلسل الزمنية التي لا يتضح اتجاهها او نمطها
الموسمي ويعطى بالصيغة التالية

p_{t+1} : التنبؤ للفترة $t+1$

P_t : التنبؤ للفترة الماضية

R_t : الطلب الحقيقي للفترة الماضية

و يطلق على المعامل α المعامل المثبت و هذه النسبة يمكن حسابها و يجعل مربعات الأخطاء
التنبؤ أقل ما يمكن و عادة تكون صغيرة 5%

3-2 التمهيد الأسوي المزدوج :

تعتبر من انسب طرق التنبؤ باستخدام السلسل الزمنية خاصة التي تتميز باتجاه
متزايد أو متناقص. و ميزة هذه الطريقة أنها تعطي أوزان كبيرة للقيم القريبة في السلسلة الزمنية
و أوزان أقل للقيم بعيدة بالمعامل α بينما ترجح القيم القريبة بالمعامل $1 - \alpha$ و يكتب
بالصيغة التالية:

أي نحصل على التنبؤ من خلال إضافة الاتجاه للتنبؤ بالتمهيد الأسوي البسيط حيث:

T_t : الاتجاه للفترة t

T_{t-1} : الاتجاه للفترة الماضية

β : معامل تشبيط الاتجاه

P_t : التنبؤ الطلب للفترة t

¹⁸ خلدة دلهوم، مرجع سابق الذكر ص 88

P_{t-1} : تنبؤ الطلب للفترة الماضية¹⁹

تطرقنا في هذه المرحلة إلى مجموعة من الأساليب التي تقوم بالتنبؤ بالقيمة المستقبلية للمتغير محل الدراسة والمشكل أن كل هذه الأساليب تمكنا من حساب هذه القيمة لكن لا تستطيع أن تتنبأ بالفترة التي يمكن للمتغير أن يغير فيها اتجاهه

3-طريقة هولت :

ت تكون هذه الطريقة من معادلتين و كذا ثابتى تمهد احدهما خاص بالعشوانية و الآخر بالاتجاه العام و تكتب كما يلى :

و للتخلص من إشكالية قيم الانطلاق نقترح من بين مجموعة من الصيغ الصيغتين التاليتين :

او

$$\widetilde{y_2} = y_2$$

$$r_2 = y_2 - y_1$$

و بهذا تتطلق عملية التمهيد من الفترة 2 في الحالة الأولى و من الفترة 3 في الثانية و لأغراض التنبؤ تكتب تلك المعادلتين في الصيغة المعدلة التالية :

و هو تقريبا نفس النموذج الخطي حيث :

لما $1 = 7$ في العلاقة²¹

4-عرض طريقة بوكس جنكينز:

¹⁹ ادوارد مينيكا؛ زوريانا كورزيجا. الإحصاء في الإدارة مع التطبيق على الحاسوب الآلي، تعریب، سرور علي إبراهيم سرور، الطبعة الثانية، الرياض: دار المريخ.....، ص. 62.

²⁰ جلاطو جلالي "الإحصاء التطبيقي مع تمارين و مسائل م حلولة" دار الخلدونية للنشر والتوزيع، الجزائر، 2007 ص 188 ط

²¹ مولود حشمان، مرجع سابق ذكره، ص 76

تعتبر طريقة بوكس جينكينز من بين الطرق التنبؤية الكمية تعتمد أساساً على دراسة السلسلة الزمنية وكشف خصائصها الجوهرية، حيث وضعت هذه الطريقة من طرف كل من "GWRYM. M. NJENKINS ET GEORGE.E.P. BOX" في سنة 1976 إلى جانب هذا فإنها من بين طرق التنبؤ قصير المدى، حيث تعطينا تنبؤات المتغير الاقتصادي لمدة زمنية مستقبلية، وهي طريقة تشتهر بوجود:

1 - سلسلة زمنية طويلة تحتوي على الأقل 50 مشاهدة.

2 - خبرة ومهارة الباحث فيما يخص عملية الكشف عن النموذج الدقيق والأكثر ملائمة للسلسلة الزمنية.

سوف نتطرق في هذا المبحث إلى عرض بعض المفاهيم العامة والأساسية من خلال تبسيط وتوضيح وإعطاء فكرة مبسطة حول هذه الطريقة.

1-4 مفاهيم عامة وأساسية

2-الصدمات العشوائية(Bruitblanc): وهي عبارة عن متالية عشوائية مستقلة عن بعضها البعض أي غير مرتبطة ولها نفس التباين ونرمز لها بالرمز (ε_t) وتسمى بالشوشة البيضاء ويمكن تلخيص خصائصها كمايلي:

$$\forall t \quad \left\{ \begin{array}{l} 1) \quad \varepsilon_t \longrightarrow N(0, \delta^2) \\ 2) \quad E(\varepsilon_t) = 0 \\ 3) \quad V(\varepsilon_t) = \delta^2 \\ 4) \quad \text{COV}(\varepsilon_t, \varepsilon_{t-h}) = 0 \end{array} \right.$$

3-السياق المستقر(Processusstationnaire):

يمكن القول عن السياق (X_t) أنه مستقر إن كان تباينه ومتوسطه مستقل عن الزمن ويعبر عنه رياضياً كامايلي:

$$\forall t, h \in T \quad \left\{ \begin{array}{l} E(X_t) = \mu \\ V(X_t) < +\infty \\ \text{COV}(X_t, X_{t-h}) = V(h) \end{array} \right.$$

4- دالة الارتباط الذاتي "FAC": (Fonction d 'auto corrélation)

تسمح هذه الدالة الى توضيح الارتباط بين المشاهدة في فترات مختلفة بين المتغير والقيم (X_{t-1}, X_{t-2}, \dots)²² ويرمز لها بالرمز $P(h)$ حيث:

$$P(h) = \frac{COV(X_t, X_{t-h})}{\sqrt{V(X_t)V(X_{t-h})}} = \frac{V(h)}{\sqrt{V(0)V(0)}} = \frac{V(h)}{V(0)}$$

$$P(h) = \frac{\sum_{t=1}^h (X_t - \bar{X})(X_{t-h} - \bar{X})}{\sqrt{\sum_{t=1}^h (X_t - \bar{X})^2} \sqrt{\sum_{t=1}^h (X_{t-h} - \bar{X})^2}}$$

$$\bar{X} = \frac{1}{n} \sum_{t=1}^h X_t \quad \text{حيث :}$$

وتمثلها البياني يدعى (Correlogramme)

ويمكن تقدير معاملات دالة الارتباط الذاتي للنموذج المستقر (X_t) لـ h مشاهدة كما يلي:

$$\hat{P}(h) = \frac{\sum_{t=1}^h (X_t - \bar{X})(X_{t-h} - \bar{X})}{\sum_{t=1}^h (X_t - \bar{X})^2} \quad h \geq 0$$

4- دالة الارتباط الذاتي الجزئي (FACP): Fonction d'auto corrélation partielle

تسمح هذه الحالة من حساب معاملات الارتباط الذاتي الجزئي بين مشاهدات في فترات مختلفة كما تسمح بالخصوص من تشكيل نماذج الانحدار الذاتي:

والممثل البياني لهذه الدالة يسمى بـ (Correlogramme partielle) ويمكن أن تعرف هذه الدالة بالعلاقة الآتية:

$$r(h) = \frac{COV(X_t - X_{t-h}^*, X_{t-h} - X_{t-h}^*)}{\sum_{t=1}^h (X_t - \bar{X})^2} \quad h \geq 0$$

حيث: (X_t^*) : الانحدار الخطى لـ (X_t) على:

$X_{t-1}, X_{t-2}, \dots, X_{t-h+1}$: الانحدار الخطى لـ (X_{t-h}) على:

$X_t = a_1 X_{t-1} + a_2 X_{t-2} + \dots + a_h X_{t-h} + \varepsilon_t$ حيث أن: (a_h) معامل (ويسمى

²² Les cours de la series temporelles, Madame Moussi oume elkhaire , 4^{eme} année ingénieur d'état 2006 P56

ويمكن تقدير معامل الارتباط الذاتي الجزئي $r(h)$ بالعلاقة الآتية: $a_h = r(h)$ وذلك بحل جملة

المعادلات الآتية:

$$\begin{bmatrix} P(1) \\ P(2) \\ \vdots \\ P(h) \end{bmatrix} = \begin{bmatrix} 1 & P(1) & \dots & P(h-1) \\ P(1) & 1 & & P(h-2) \\ \vdots & \vdots & & \vdots \\ P(h-1) & P(h-2) & \dots & 1 \end{bmatrix} \begin{bmatrix} a_1 \\ a_2 \\ \vdots \\ a_h \end{bmatrix}$$

إذن: $\begin{bmatrix} a_1 \\ a_2 \\ \vdots \\ a_h \end{bmatrix} = A^{-1} \begin{bmatrix} P(1) \\ P(2) \\ \vdots \\ P(h) \end{bmatrix} = A^{-1} |a_{ij}|^{-1}$ Matrice carrée

الأسطر عدد $i = 1, \dots, h$

عدد الأعمدة $j = 1, \dots, h$

$$\sum_{j=1}^h (a_{ij})^{-1} P(j) = a_h$$

4-6 معاملات التحويل: وتمثل في المعاملات الآتية:

أ-معامل التأخير: (Opérateur de retard) نسمى معامل التأخير (B) المعرف كمالي:

$$X_{t-1}$$

وفي الحالة العامة هذا المعامل يكتب بالشكل:

$$\left(\sum_{i=1}^h a_i B^i\right) X_t = \sum_{i=1}^h a_i X_{t-i}$$

ب-معامل التقدم: (Opérateur d'avance) نسمى التقدم (F) المعرف كمالي:

وفي الحالة العامة هذا المعامل يكتب بالشكل:

$$\sum_{i=1}^n a_i X_{t+i}$$

4-7 دالة التباين المشتركة الذاتي (Fonction d'autocovariance): يمكن تعريف دالة ²³ التباين

المشتراك الذاتي والتي يرمز لها بالرمز ($\delta(t,s)$) أو بالرمز ($\delta(h)$)

ورياضيا كما يلي

$$t,s \in Z^2$$

4- نماذج الانحدار الذاتي من الدرجة AR(p):p

نسمى الانحدار الذاتي من الدرجة p كل نموذج مستقر ($X_t / t \in Z$) والذي يحقق

العلاقة الآتية:

$$X_t = \varphi_1 X_{t-1} + \varphi_2 X_{t-2} + \dots + \varphi_p X_{t-p} + \varepsilon_t$$

وصيغته العامة هي:

$$X_t = \sum_{i=1}^p \varphi_i X_{t-i} + \varepsilon_t$$

حيث: ε_t : صدمات عشوائية:

φ_i : معاملات حقيقي $i = 1, 2, \dots, p$

Z : هي مجموعة الأعداد الصحيحة

$$X_t - \sum_{i=1}^p \varphi_i X_{t-i} = \varepsilon_t \quad / \quad \forall t \in Z$$

وبإدخال معامل التأخر نستطيع كتابة النموذج بشكل آخر حيث يصبح

$$(1 - \varphi_1 B - \varphi_2 B^2 - \dots - \varphi_p B^p) X_t = \varepsilon_t$$

$$\varphi_p(B) X_t = \varepsilon_t$$

حيث: $\varphi_p(B)$ كثير حدود مميز للنموذج (X_t)

أكبر تماماً من قيمة $(1 - \varphi_1 B - \varphi_2 B^2 - \dots - \varphi_p B^p)$ ونقول عن هذا النموذج أنه مستقر إذا كانت جميع جذوره

ودالة الإرتباط الذاتي له تكتب بالعلاقة الآتية:

$$J = 1, 2, \dots, h \quad P(j) = \sum_{i=1}^h a_i P(j-1)$$

دالة الإرتباط الذاتي: $P(J)$ بالنسبة لـ $P(1)$

تتغير معاملات هذه الدالة بإتجاه واحد بالنسبة (P) حيث أنها تتطلب من الواحد وتبقي في تناقض مستمر غير أنها لا تتعدم مباشرة في حالة الإستقرار مما يصعب تحديد درجة الإستقرار ودرجة النموذج وهي تساعد على:

- الكشف على مدى وجود إرتباط بين المشاهدات من خلال حساب معاملات الإرتباط الذاتي بين هذه المشاهدات في فترات مختلفة.

- تحديد مدى إستقرارية السلسلة الزمنية ويتجل في ذلك في تلاشي المعاملات بسرعة أي قبل الدرجة h والتي تعادل $\frac{N}{4}$ مشاهدة.

دالة الإرتباط الذاتي الجزئي $FAC P$ بالنسبة لـ $AR(P)$

في الحالة التي يصعب فيها معرفة النموذج $AR(P)$ بواسطة FAC نستعمل الدالة $FACP$ وذلك من خلال معاملاتها التي تتعدم بعد الدرجة P والتي تتبع قانون التوزيع الطبيعي ولهذا يجب التأكد من انعدام هذه المعاملات عندما تكون ($R > P$)

نماذج المتوسطات المتحركة من الدرجة (q) : $MA(q)$

نسمى نماذج المتوسطات المتحركة من الدرجة (q) كل نموذج مستقر ($X_t / t \in Z$) والذي يحقق العلاقة الآتية:

وسيغتها العامة هي:²⁴

$$X_t = \varepsilon_t - \sum_{j=1}^q \theta_j \varepsilon_{t-j}$$

حيث: ε_t : صدمات عشوائي

θ_j : معاملات حقيقية $q = 1, 2, 3, \dots, q$

وبإدخال معامل التأخير نستطيع كتابة النموذج بشكل آخر حيث يصبح

$$X_t = (1 - \theta_1 B - \theta_2 B^2 - \dots - \theta_q B^q) \varepsilon_t$$

²⁴ Regis bourbonnais ,econometrie : manuel et exercices corriges 8 eme edition , paris , dundo , 2011P132

أي: $X_t = \theta_q(B)\varepsilon_t$
 والمتغير في هذا النموذج انه دائما مستقر ($X_t /_{t \in Z}$) حيث أن:
 الأمل الرياضي: (espérance)

(Variance) التباين:

$$\begin{aligned} V(X_t) &= V(\varepsilon_t - \theta_1\varepsilon_{t-1} - \dots - \theta_q\varepsilon_{t-q}) \\ &= \delta^2 + \theta_1\delta^2 + \dots + \theta_q\delta^2 \\ &= \delta^2 + \left(1 + \sum_{j=1}^q \theta_j\right) = \delta^2(1 + \theta_1 + \theta_2 + \dots + \theta_q) \end{aligned}$$

دالة التباين الذاتية تحسب ($E(X_t, X_{t-h})$)

إذا كان ($h \leq q$)

$$\begin{aligned} E(X_t, X_{t-q}) &= E[(\varepsilon_t - \theta_1\varepsilon_{t-1} - \dots - \theta_q\varepsilon_{t-q})(\varepsilon_{t-h} - \theta_1\varepsilon_{t-h-1} - \dots - \theta_q\varepsilon_{t-h-q})] \\ &= (-\theta_h + \theta_1\theta_{h+1} + \dots + \theta_q\theta_{h+q})\delta^2 \end{aligned}$$

إذا كان ($h > q$) فإن:

$$E(X_t, X_{t-h}) = 0$$

4- دالة الارتباط الذاتي FAC بالنسبة ل (q)

تتميز معاملات دالة الارتباط الذاتي ل (q) بانعدامها مباشرة بعد الدرجة (q) فإذا كان النموذج $(1/n)(1 + 2 \sum \delta_i^2)$ كما أنها تتبع قانون التوزيع الطبيعي ذو التباين $MA(1)$ فإن $q_2 = 0$ مهمما تكن $t > q$

5- دالة الارتباط الجزئي FACP بالنسبة ل (q)

تعد دالة الارتباط الجزئية لنماذج المتوسطات المتحركة رتبية تماما ومتافقه بقوة لاتخاذها الجانب التنازلي:

نماذج $MA(q)$ مستقرة دوما لكونها عبارة عن ترتيبة خطية للصدمات العشوائية

تكون نماذج $MA(q)$ انعكاسية (INVERSIBLE) اذا كان مجموع جذور $(B)^{\theta}$ أصغر من الواحد حيث يمكننا كتابة X_t على شكل كثير حدود مميز وذلك بادخال عامل التأخير (B) على النحو

$$\text{التالي: } X_t = \theta_p(B)\varepsilon_t$$

6-نماذج مختلطة من الدرجة p, q : ARMA(p, q)

هذا النموذج يجمع بين النموذجين:

النموذج الانحداري ذو الدرجة (p) أي $AR(p)$ ونموذج المتوسطات المتحركة من الدرجة

(q) أي $MA(q)$ ويكتب رياضيا على الشكل التالي:

$$X_t - \varphi_1 X_{t-1} - \varphi_2 X_{t-2} - \dots - \varphi_p X_{t-p} = \varepsilon_t - \theta_1 \varepsilon_{t-1} - \theta_2 \varepsilon_{t-2} - \dots - \theta_q \varepsilon_{t-q}$$

ويمكن كتابته بالصيغة العامة الآتية: حيث $X_t - \sum_{i=1}^p \varphi_i X_{t-i} = \varepsilon_t \sum_{j=1}^q \theta_j \varepsilon_{t-j}$

φ_i : معاملات حقيقة

θ_j : معاملات حقيقة

ε_t : صدمات عشوائية

وبإدخال عامل التأخير (B) تصبح العلاقة على الشكل:

$$(1 - \varphi_1 B - \dots - \varphi_p B^p)X_t = (1 - \theta_1 B - \dots - \theta_q B^q) \Leftrightarrow \varphi(B)X_t = \theta(B)\varepsilon_t$$

حيث: $\left[(1 - \varphi_1 B - \dots - \varphi_p B^p) = \varphi(B) \right]$

q [$(1 - \theta_1 B - \dots - \theta_q B^q) = \theta(B)$]

يكون النموذج ARMA(p, q) مستقرا إذا وفقط إذا تحقق:

$$\varphi_p \neq 0, \theta_q \neq 0 \quad .1$$

2. جميع جذور $\theta(B), \varphi(B)$ أكبر تماما من الواحد.

3. جميع جذور $\theta(B), \varphi(B)$ لا تكون مشتركة.

4. $E(\varepsilon_t) = 0$ و $V(\varepsilon_t) = \delta^2$: صدمات عشوائية حيث

$$\varepsilon_t \rightarrow N(0, \delta^2) \quad .5$$

7- النماذج المختلطة المركبة من الدرجة ARIMA(pdq),(p,d,q)

يسمى هذا النوع من النماذج بنماذج الانحدار الذاتي المتوسط المتحرك المعدل ويرمز لها

ARIMA (p,d,q)

وهو نوع من النماذج المتجانسة الغير مستقرة لأن $(B, \varphi(B), \theta(B))$ جذورها قد يكون أكبر من الواحد (ليس تماماً) ويوجد كذلك له جذر يساوي واحد (1)

إذن X_t نموذج غير مستقر، وحتى نحصل على شرط الإستقرارية نقوم بما يلي²⁵: نضع

$$Y_t = (1 - B)^d X_t$$

$\Delta^d = (1 - B)^d$ حيث Δ^d : معامل الفروقات من الدرجة "d"

فيصبح النموذج كما يلي:

ومنه نتحصل على السلسلة الجديدة (Y_t) مستقرة.

8- النماذج المختلطة ذو المركبة الفصلية SARIMA(p,d,q)(p,d,q)

إذا كانت السلسلة المدروسة تحمل المركبة الفصلية تفكك السياق SARIMA بطريقة

تجعلنا نشكل نموذج مقبول يمكن ان يمثل السلسلة ويكون على الشكل:

$$\Delta^d \varphi_p(B) \nabla_s^d \varphi_p(B^s) X_t = \theta_q(B) \theta_q(B^s) \varepsilon_t$$

حيث: ε_t صدمات عشوائية

S: تمثل الفترة الفصلية حسب طبيعة المعطيات

$$\Delta^d = (1 - B)^d$$

$$\nabla_s = (1 - B)^s$$

²⁶ في حالة المعطيات الفصلية: S=4

في حالة المعطيات الشهرية. S=12

النموذج $\Delta^d \nabla_s^d X_t$ هو مستقر لأن جذور كثيري الحدود: $(B, \varphi_p(B^s), \theta_q(B^s))$ مختلف عن الواحد .

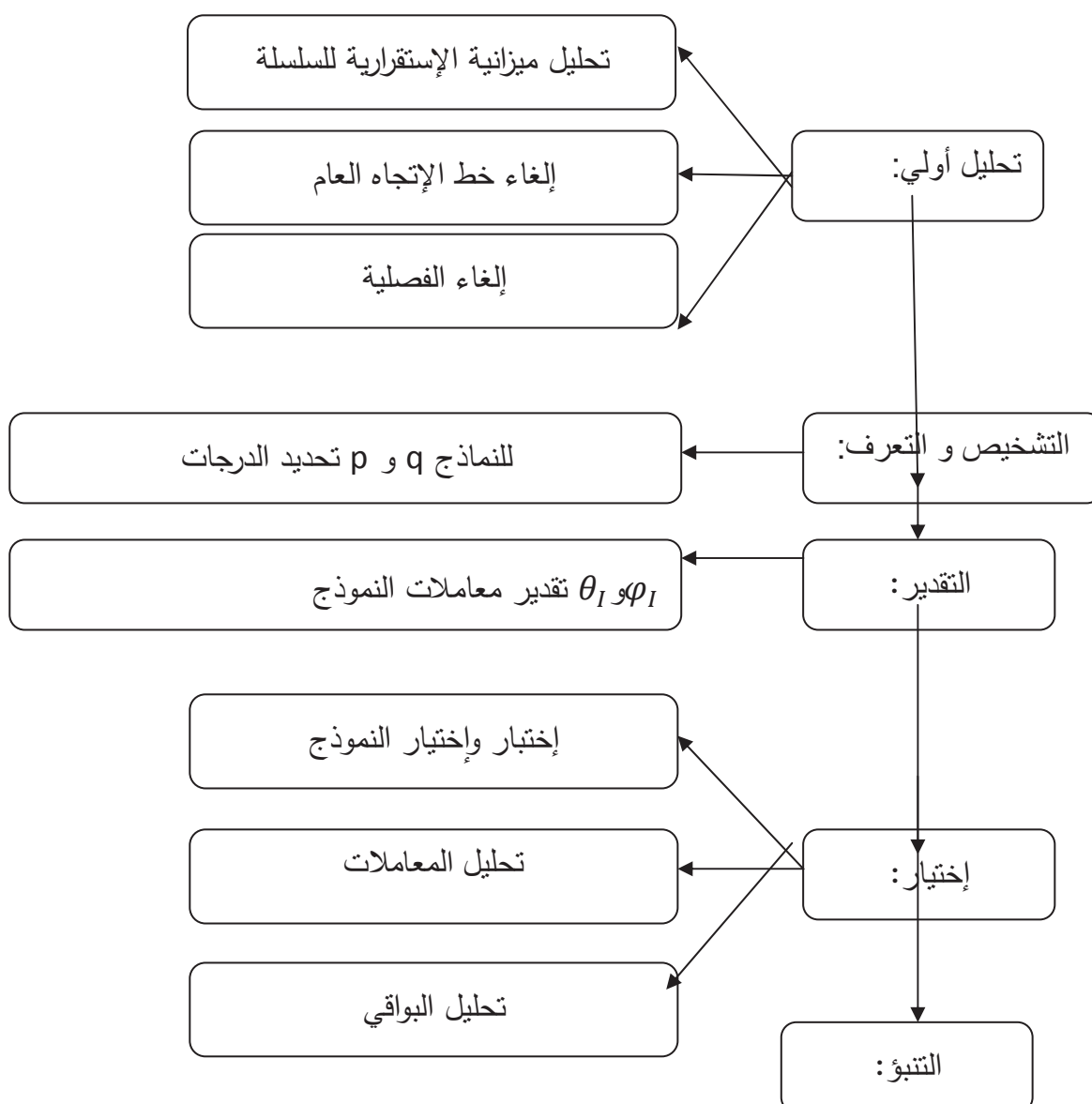
²⁵ مولود حشمان، نفس المرجع، ص 177

²⁶ M,Davide F .G.C Michond « La Précision Approche D'un méthode statistique », P :81 2004

4- منهاجية طريقة بوكس جينكينز

تعد طريقة بوكس جينكينز ضرورية لاستعمال أحسن البرامج (Leslogiciels) حتى تكون لنا القدرة على اختيار النموذج الموفق للمعطيات وتمثل في تشخيص وتقدير وإختيار النماذج وأخيرا القيام بعملية التنبؤ وتتمكن تمثيل هذه المراحل في المخطط الآتي

الشكل رقم (08) مخطط مراحل طريقة بوكس جينكينز²⁷



موقع : www.arab.api.org/cours4/c4/1.htm

إن الوصول إلى اختيار النموذج الأنسب للسلسلة المدرosa يتطلب المرور بأربعة مراحل:

- مرحلة التعرف على النموذج Identification.
- مرحلة التقدير estimation.
- مرحلة الإختبار Validation.
- مرحلة التنبؤ LaPrévision.

4-9-1 مرحلة التعرف على النموذج « Identification »

تعتبر هذه المرحلة من أهم المراحل لأنها يتم من خلالها التعرف على النموذج الأكثر توافق مع السلسلة الزمنية وذلك من خلال دراسته دالة الإرتباط الذاتي Correlogramme و دالة الإرتباط الذاتي الجزئي auto-corrélation partielle:

وتحليل منحنياتها البيانية والتي تسمح بتحديد النماذج الملائمة ولكن الأهم في هذه المرحلة هو التأكد من إستقرار السلسلة الزمنية (X_t) و التخلص من مركبة الإتجاه العام و المركبة الفصلية وذلك بتطبيق طريقة الفروقات.

طريقة الفروقات من الدرجة الأولى وذلك بتطبيق المعادلة:

أي تصبح ΔX_t هي السلسلة المستقرة، وفي حالة السلسلة ΔX_t غير مستقرة نواصل في تطبيق

طريقة الفروقات إلى غاية الوصول إلى السلسلة $\Delta^d X_t$ مستقرة

حيث أن: $\Delta^d x_t = (1 - B)^d X_t$ حيث :

B معامل التأخير و d درجة الفروقات

4-9-2 مرحلة التقدير « L 'estimation »

الزمنية وذلك بتحديد كل من (p, d, q) في المرحلة الأولى، تأتي المرحلة المولالية والتي

تتمثل في تقدير المعاملين φ, θ حيث:²⁸

$$\varphi = \varphi_1, \varphi_2, \dots, \varphi_p$$

$$\theta = \theta_1, \theta_2, \dots, \theta_q$$

وذلك باستعمال إحدى الطرق: مثلا طريقة المربيعات الصغرى(MCO) التي تعتمد على مبدأ

$$\text{Min}(\theta, \varphi) = \sum_{t=1}^n \varepsilon_t^2$$

$$\text{حيث: } \varepsilon_t = X_t - \hat{X}_t \rightarrow N(0, \delta^2)$$

\hat{X}_t المشاهدة في اللحظة t

4-9-3 مرحلة الاختبار « La validation »

بعد الانتهاء من مرحلتي تحديد وتقدير النموذج نتطرق الى اختبار قوة النموذج ومدى توافق

النموذج $ARIMA(p, d, q)$ المختار في مرحلة التعرف والمقدر في مرحلة التقدير مع

المعطيات المتوفرة والاختبارات التي تطبق على النموذج وهي ثلاثة أشكال:

دراسة معالم النموذج:

من المأثور حساب الإحصائية خطوة أولى من أجل دراسة المعالم بعد تقديرها حيث أن B_j

تمثل المعالم المقدرة ثم نقوم بمقارنة الإحصائية T مع العدد 2

فإن كانت $|t_j| \geq 2$ عند المستوى المعنوي ($\alpha = 5\%$)(*risque*) نقول أن المعالم j بصفة

معبرة تختلف عن الصفر.

مقارنة النماذج:²⁹

²⁸ عبد الحميد عبد المجيد البلداوي؛ نجم عبد الله الحميدي، الأساليب الكمية التطبيقية في إدارة الأعمال: أللآلبي العلمي الثلاثي، الإدارية، بحوث العمليات، الإحصاء، عمان: دار وائل (2008)، ص 227.

²⁹ مولود حشمان مرجع سابق ذكره ص 189

نوعية أي نموذج يحتوي على K معلم مكون انطلاقاً من سلسلة مستقرة ذات الطول n يمكن قياسها بمساعدة معيارين:

ـ معيار:

(AIC :Akaike information criterion) D'AKAIKE

ـ معيار:

(BIC :Baysien information criterion) Schwartz

هذا المعیاران معروفین بالعلاقتين التاليین:
 $AIC = -2 \log(L) + 2K$
ويمكن أن نعرف AIC كمایلی: $BIC = -2 \log(L) + K \cdot \log(n)$

حيث: L هي دالة المعقولية (Fonction de vraisemblance)

: N هي عدد مشاهدات السلسلة الزمنية.

: K يمثل عدد المعالم المقدرة.

ويكون اختيار النموذج على أساس أصغر قيمة للمعيارين: AIC و BIC للنماذج مع العلم أن كل من المعیارین AIC و BIC یسمح بقياس قيمة النموذج كما یساعد في اختيار النموذج الذي يتميز بأصغر انحراف للبواقي.

دراسة البوافي

إن البوافي

$$\hat{\delta}_t = \hat{\theta}(B)^{-1} \hat{\varphi}(B)(1 - B)^d X_t = X_t - \hat{X}_{t-1}$$

حيث أن: \hat{X}_{t-1} هو التنبؤ لقيمة \hat{X}_t في اللحظة t في النموذج المقدر

$$\varepsilon_t = \theta(B)^{-1} \varphi(B)(1 - B)^d X_t$$

ε_t مقاربة جداً، كما يمكننا التأكد من أن ε_t تشكل صدمات عشوائية عن طريق دراسة الإرتباط

الذاتي للبواقي ($\hat{\delta}_t$) بالنسبة ل P_j

الاختبارات العامة على الارتباطات الذاتية للبواقي ε_t :

يمكن أن نذكر اختبارين يسمحان باختبار النموذج المدروس وهما يستعملان بكثرة في الجانب التطبيقي وهما:

اختبار (BOX PIERCE)

يعتمد هذا الاختبار على توضيح نماذج الصدمات العشوائية وتكون صيغته

$$\begin{cases} H_0 : P(h) = 0 \\ H_1 : P(h) \neq 0 \end{cases}$$

ومن إجراء هذا الاختبار نلأ إلى حساب حيث $Q = n \sum_{h=1}^h P^2(h)$

$$Q = x_{\lambda-p-q}^2$$

مع العلم أن $P(h)$ تمثل الارتباط الذاتي للبواقي

$$\lambda = \text{Min}(n/2, 3\sqrt{n})$$

p : درجة نموذج الانحدار الذاتي AR

q : درجة نموذج المتوسطات المتحركة MA

فإذا كانت $Q > x_{\lambda-p-q}^2$ نرفض H_0 وبالتالي فان (ε_t) لا تمثل صدمات عشوائية.

قبل Q نقبل H_0 (نرفض H_1 وبالتالي) (ε_t) تمثل صدمات عشوائية.

اختبار إحصائي (Ljung-Box)

معروفة كمالي: Ljung-Box

$$Q^* = n(n+2) \sum_{h=1}^{\lambda} \frac{P^2(h)}{n-h}$$

حيث: λ تحدد بنفس الطريقة السابقة $(\lambda = \text{Min}(n/2, 3\sqrt{n}))$

n عدد المشاهدات

$P(h)$ الارتباط الذاتي للبواقي

$$\begin{cases} H_0 : (\varepsilon_t) \text{ تمثل صدمات عشوائية} \\ H_1 : (\varepsilon_t) \text{ لا تمثل صدمات عشوائية} \end{cases}$$

فإذا كانت $x_{\lambda-p-q}^2 > Q$ نرفض H_0 وبالتالي فإن (ε_t) لا تمثل صدمات عشوائية

$x_{\lambda-p-q}^2 < Q$ قبل H_0 (نرفض H_1 وبالتالي) (ε_t) تمثل صدمات عشوائية.

ولمعرفة فيما إذا كانت هذه الصدمات (ε_t) تخضع للتوزيع الطبيعي أم لا نقوم بالاختبار التالي:

اختبار التوزيع الطبيعي (Test de normalité)

من أجل التحقق أن الباقي $(\varepsilon_t, t \in z)$ تابع التوزيع الطبيعي يمكن الاستعانة باختبار

"J'arque- béra" الذي يعتمد على معامل skewness (التنازد) و kurtosis (القلطه)

$$B_1^{1/2} = \frac{\mu_3}{\mu_2^{3/2}}$$

حيث أن معامل skewness يعطى بالعلاقة:

$$B_2 = \frac{\mu_4}{\mu_2^2}$$

معامل kurtosis (القلطه) يعطى بالعلاقة

مع العلم أن قيمة μ_s : العزم المركز من الرتبة "s" يساوي:

$$\mu_s = 1/n \sum_{j=1}^n (x_j - \bar{x})$$

$$B_1^{1/2} \rightarrow N(0, \sqrt{\sigma/n}) : (n > 30)$$

$$B_2 \rightarrow N\left(0, \sqrt{24/n}\right)$$

إذن:

$$V_2 = \frac{B_2 - 3}{\sqrt{24/n}} V_1 = \frac{B_1^{1/2} - 0}{\sqrt{\sigma/n}}$$

حيث ثم نقوم بمقارنة V_1 و V_2 مع القيمة 1,96 عند مستوى المعنوية $\alpha = 5\%$

اذكان: $\begin{cases} |V_1| < 1,96 \\ |V_2| < 1,96 \end{cases}$ قبل فرضية التوزيع الطبيعي للباقي (ε_t)

4-9 مرحلة التنبؤ «La Prévision»

بعد تطرقنا الى المراحل الثلاث (التعرف، التقدير ثم الاختبار) التي تتبعها حتى نحصل على

النموذج المقبول، نمر الى المرحلة الأخيرة التي تمثل في التنبؤ وتشكيل مجال الثقة.

حساب التنبؤ:

ليكن (X_t) نموذج مستقر حيث:

$$X_t = \sum_{i=0}^{\infty} \Psi_i \varepsilon_{t-i} \Psi_0 = 1$$

$$X_t = \varepsilon_t + \Psi_1 \varepsilon_{t-1} + \Psi_2 \varepsilon_{t-2} \dots$$

و

$$\varepsilon_t \rightarrow N(0, \delta^2)$$

ومن أجل التنبؤ بالقيم (X_{t+h}) يمكن كتابته كمالي:

$$X_{t+h} = \varepsilon_{t+h} + \Psi_1 \varepsilon_{t+h-1} + \Psi_2 \varepsilon_{t+h-2} + \dots + \Psi_{h-1} \varepsilon_{t+1} + \Psi_h \varepsilon_t + \Psi_{h+1} \varepsilon_{t-1} + \dots$$

وعليه تكون $\hat{X}_t(h) = \Psi_h \varepsilon_t + \Psi_{h+1} \varepsilon_{t-1} + \dots$

أما خطأ التنبؤ فيحسب بالعلاقة الآتية:

$$e_t(h) = X_{t+h} - \hat{X}_t(h)$$

$$= \varepsilon_{t+h} + \Psi_1 \varepsilon_{t+h-1} + \Psi_2 \varepsilon_{t+h-2} + \dots + \Psi_{h-1} \varepsilon_{t+1} \hat{e}_t(h)$$

$$\hat{e}_t(h) = \varepsilon_{t+1} + \sum_{i=1}^{h-1} \Psi_i \varepsilon_{t+h-i}$$

وتباينه يعطى بالعلاقة :

$$V(e_t(h)) = E \left(X_{t+h} - \hat{X}_t(h) \right)^2$$

$$= \delta^2 [1 + \Psi_1^2 + \Psi_2^2 + \dots + \Psi_{h-1}^2]$$

$$= \delta^2 \sum_{i=1}^{h-1} \varphi_i^2$$

وأمله الرياضي : $E(e_t(h)) = 0$ وفي حالة ما إذا كان النموذج

$$X_t \rightarrow SARIMA(p, d, q)$$

فإننا يمكن أن نحسب التنبؤ انطلاقاً من علاقة التعريف التالية:

$$\Delta^d \varphi_p(B) \nabla_s^d \varphi_p(B^s) X_t = \theta_q(B) \theta_q(B^s) \varepsilon_t$$

علماً أن تباين خطأ التنبؤ لا يتغير أي أن:

$$\begin{aligned} V(e_t(h)) &= \delta^2 [1 + \Psi_1^2 + \Psi_2^2 + \dots + \dots + \Psi_{h-1}^2] V(e_t(h)) \\ &= \delta^2 \sum_{i=1}^{h-1} \varphi_i^2 V(e_t(h)) = \end{aligned}$$

حيث أن:

$$\varphi(B) = \Delta^{-d} \varphi_p(B)^{-1} \nabla_s^{-d} \varphi_p(B) \theta_q(B^s)$$

حساب مجال الثقة (Intervale de Confiance)

إذا افترضنا بان الصدمات العشوائية (ε_t) تخضع لتوزيع طبيعي فان خطأ

التبؤ ($e_t(h)$) يتبع التوزيع الطبيعي أن :

وهكذا نعرف مجال الثقة عند مستوى المعنوية (α) كمالي:

$$X_{t+h} = \hat{X}_t(h) \mp \mu_{1-\alpha/2} \delta (1 + \Psi_1^2 + \Psi_2^2 + \dots + \Psi_{h-1}^2)$$

المبحث الثاني : الدراسات السابقة :

العديد من الدراسات تناولت موضوع التنبؤ بالمبيعات لما له من الأهمية في بناء استراتيجيات المؤسسات الاقتصادية في ظل البيئة المعقدة التي تعيشها و التي أصبحت تفرض على المؤسسة التأقلم و مواجهة ظروف الطلب و الإنتاج و من بين الدراسات التي تناولت موضوع التنبؤ ذكر مايلي :

- دراسة بجامعة بغداد كلية الزراعة : تم إعدادها من قبل علي درب كسار ، وصادق حمادي حسين ، والتي هدفت إلى مقارنة طرائق التنبؤ بالطلب على محصول الرز في العراق لمدة (2012-2020) الصادرة عن مجلة العلوم الزراعية العراقية العدد الثامن و الثمانون 2008، وذلك بالاعتماد على البيانات الكمية المتوفرة للاستهلاك من الرز خلال المدة (1961-2007) حيث تم استعمال مجموعة من أساليب التنبؤ منها طريقة المربيات الصغرى و طرائق التمهيد الآسي و المزدوج و المتقطعت المتراكمة فضلاً عن منهجية box-jenkins و تمت المقارنة بالاعتماد على معيار متوسط مربع الأخطاء (MES) مع الأفضلية للنموذج الذي يحقق أقل قيمة لهذا المعيار ، فضلاً عن أقل قيمة لمعيار الإعلام الذاتي AIC في المفاضلة بين نماذج ARIMA و توصلت الدراسة إلى تفوق نماذج ARIMA في تحقيقها لأقل قيمة للمعيار (MES) بالمقارنة مع النماذج الأخرى ، وكان النموذج ARIMA ذو الرتبة (1,1,1) هو أفضل النماذج للتنبؤ بالطلب المستقبلي .

- دراسة جودة السلسلة الزمنية الموسمية المختلطة SARIMA في التنبؤ بالمبيعات من قبل أ.لقوقي فاتح سنة 2014 و المأخوذة من رسالة ماجистير من كلية العلوم الاقتصادية و التجارية و علوم التسيير بجامعة محمد خضر ببسكتة و تم التوصل إلى أن كل انشطة الادارة يجب ان تخطط مسبقاً و كل قرارات الادارة يجب ان يتم توقعها على ضوء تنبؤات مستقبلية تتعلق بهذا النشاط و التنبؤ هو الذي يزود الادارة بالافتراضات و التصورات التي تبني عليها الاستراتيجيات و الخطط الالزمة لتحقيق هذه الأهداف، وقبل دراسة أي سلسلة زمانية يجب اخضاعها لعدة اختبارات الاستقرارية ،اختبارات التوزيع الطبيعي

، اختبارات الاستقلالية، كما ان نماذج SARIMA تشمل كل نماذج السلسل الزمنية العشوائية الخطية وهي تأخذ بعين الاعتبار عدم الاستقرارية و المركبة الفصلية .

- دراسة بجامعة الموصل كلية علوم الحسابات و الرياضيات : من اعداد د.باسل يونس الخياط و م . م عزة حازم زكي ، الصادرة عن المجلة العراقية للعلوم الاحصائية العدد الثامن 2005 ، و تهدف هذه الدراسة الى استخدام الشبكات العصبية الاصطناعية للتكمّن بالسلسلة الزمنية لاستهلاك الطاقة الكهربائية في مدينة الموصل و مقارنتها مع الاساليب الكلاسيكية في التكمّن بالسلسلة الزمنية و ايجاد الاسلوب الاكثر كفاءة .

- دراسة لمقارنة كفاءة طريقة الشبكات العصبية و طريقة **BOX Jenkins** في التنبؤ مع حالات تطبيقية في العراق ، من طرف م.نوال علاء الدين الجراح ، الصادرة عن مجلة الادارة و الاقتصاد العدد التاسع و الثمانون 2011 ، ومن خلال تحليل نتائج الدراسة تم التوصل الى ان طريقة الشبكات العصبية اكثر كفاءة و متانة و تعطي نتائج ادق للتنبؤ وبالامكان الاعتماد عليها كطريقة بديلة في التنبؤ .

- دراسة **أساليب التنبؤ بالمبيعات من قبل أ. خليدة دلهوم سنة 2009** و المأخوذة من رسالة ماجستير من كلية العلوم التجارية بجامعة الحاج لخضر بباتنة و تم التوصل الى انه يوجد نوعان من الاساليب للتنبؤ هي اساليب كيفية و اخرى كمية و وجدنا ان الاساليب الكيفية لا تتطلب في تنبؤاتها معلومات حول ماضي الظاهرة و تعتمد بشكل كبير في التنبؤات للمدى الطويل و معظمها متحيزه ويمكن الحكم عليها انها غير كفؤة و من المستحسن عدم الاعتماد عليها في اتخاذ القرارات مستقبلا ، اما الاساليب الكمية فهي افضل من سابقتها لدقة نتائجها و تتضمن الاساليب التحليلية التي تستخدم في قياس العلاقات بين متغير تابع و احدى المتغيرات المفسرة له و يعتبر اسلوب السلسل الزمنية الوحيدة التي يمكن تطبيقها في كل الحالات ولا تتطلب معلومات كثيرة فقط معطيات حول ماضي الظاهرة .

- دراسة تحت عنوان **آليات المفاضلة بين النماذج في التنبؤ بحجم المبيعات** بمؤسسة ملبة الحضنة بالمسيلة من اعداد أ.عاشور بدار ، الصادرة عن مجلة العلوم الاقتصادية و علوم

التسيير ، العدد 13 لسنة 2013 وقد توصل الى انه يجب ان تولي المؤسسات اهتماما اكبر بالتبؤ اكثرا من الوظائف الالخري و خطوة اولى الاهتمام بالحجم المتتبؤ به من المبيعات مما يتطلب المرور بعدة مراحل وبعد تحديد المتغير المستقل يتم صياغة نموذج الانحدار للمبيعات ثم تحديد صيغة العلاقة التي تصف الانحدار بين المتغير التابع و المتغيرات المستقلة و يلي ذلك اختبار معنوية للمعلمات ثم اجراء اختبار المعنوية الاحصائية للنموذج كل ثم بعد ذلك نستخدم النموذج في التنبؤ بحجم المبيعات لفترات اللاحقة و خطوة اخيرة بالنسبة لهذا النموذج فانه يمكن اجراء اختبارات دقة النتائج التنبؤية .

- دراسة **بالمعهد الوطني للتخطيط و الاحصاء** ، حيث كان هدف هذه الدراسة التنبؤ بمبيعات غاز البترول الممیع باستخدام منهجية Jenjins BOX من اعداد الطالبان مختار بن قویة و الحاج جبور لنیل شهادة مهندس دولة في التخطيط و الاحصاء سنة 2003 حيث عمد الطالبان الى معالجة و تحليل كل من سلسلتي مبيعات غاز البروبان و البوتان و وجد ان كلتاهمما تخضعان للمرکبة الفصلية و باستخدام برنامج eviews تخلصا من المرکبة الفصلية بالإضافة الى ابرازهما وجود مرکبة الاتجاه العام و تصنیف سلسلتي المبيعات في خانة DS و بعد اخذ الفرق الاول لجعل السلسلتان مستقرتان وجدوا ان سلسلة مبيعات البوتان تتبع النماذج (1,1,2) SARIMA اما بالنسبة لسلسلة مبيعات البروبان فهي تتبع نماذج (1,1,2) SARIMA وقاموا باعطاء القيم التنبؤية للمبيعات لفترة 12 شهر المقبلة .
- مايميز الدراسة الحالية عن الدراسات السابقة هو محاولة ، اجراء التنبؤ بطريقتي بوكس جنكينز و التمهيد الأسني و المقارنة بينهما في النتائج من خلال دقة التنبؤ

خلاصة الفصل الأول

لقد تعرضنا في هذا الفصل الى: دراسة السلسل الزمنية، تعريفها، الشكل النظري لها ومركباتها وكذا الكشف عن هذه المركبات، ثم تطرقنا بالتفصيل لطريقة تنبؤية كمية أثبتت جدارتها وفعاليتها من خلال النتائج المقاربة للواقع وهي طريقة بوكس جينكينز (تعرفنا على مختلف النماذج الخطية التي يمكن أن تمثل السلسلة الزمنية والمنهجية التي اتبعها بوكس جينكينز من أجل الوصول إلى التنبؤات المستقبلية) وسوف نحاول في الفصل القادم تطبيق هذه الطريقة على سلسلة

لولاية

الرياض

لمجمع

الفرينة

إنتاج

الفصل الثاني : الدراسة الميدانية

تمهيد بعد عرضنا لطريقتي التبؤ على المدى القصير ومنهجية تطبيقهما، وبعد تشخيصنا لحالة مبيعات الفرينة والدقيق في الجزائر، سنقوم في هذا الفصل بإسقاط هذه الطرقتين التنبؤيتين، بتطبيق طريقتي التبؤ البوكس جنكينز و التمهيد الاسني، على مبيعات الفرينة في الجزائر ، والنظر في إمكانية تحقيقهما أم لا ، فإذا كان تحقيقهما ممكناً فننظر ما هي المزايا التي تتحققهما وما هي النتائج ،وفي حالة عدم تحقيقهما فما هي الأسباب وما هو البديل ،لكي نعرف مدى نجاع هذه الطريقتين في التبؤ للظواهر الغير الخطية كما هو الحال لمعظم الظواهر المالية.

المبحث الأول : الطريقة و الأدوات

مجتمع و عينة الدراسة :

نظرا لما تشهده السوق الجزائرية من تذبذب في مبيعات الفرينة كان لا بد من إجراء دراسة هدفها التبؤ بمبيعات الفرينة و ذلك للوقوف امام مسببات هذا التذبذب و عليه فقد تمثل مجتمع الدراسة في المطاحن الناشطة في هذا القطاع حيث تم اختيار مطاحن الفرسان بسعادة كعينة قصدية كون بيانات الشركة تساهم في خدمة أهداف هذا البحث و تم الاعتماد على بيانات DATA المصلحة التجارية كونها المسئولة عن مبيعات الشركة .

أسلوب جمع البيانات:

اعتمدت الباحثة على اسلوب الاستقصاء حيث تم شرح الهدف من الدراسة وتم الحصول على سلسلة زمنية في كميات المبيعات الشهرية من منتوج الفرينة للمدة من جانفي 2008 الى غاية ديسمبر 2015 و المتمثلة في 75 مشاهدة .

الأدوات المستخدمة في الدراسة :

تم الحصول على كميات لمبيعات منتوج الفرينة من خلال قواعد بيانات مجدولة في برنامج Microsoft Excel و قامت الباحثة بتحويل هذه البيانات و ادخالها في برنامج Eviews 7 لتسهيل عملية المعالجة و تم الاعتماد على هذا البرنامج كونه متخصص في دراسة و تحليل السلسل الزمنية

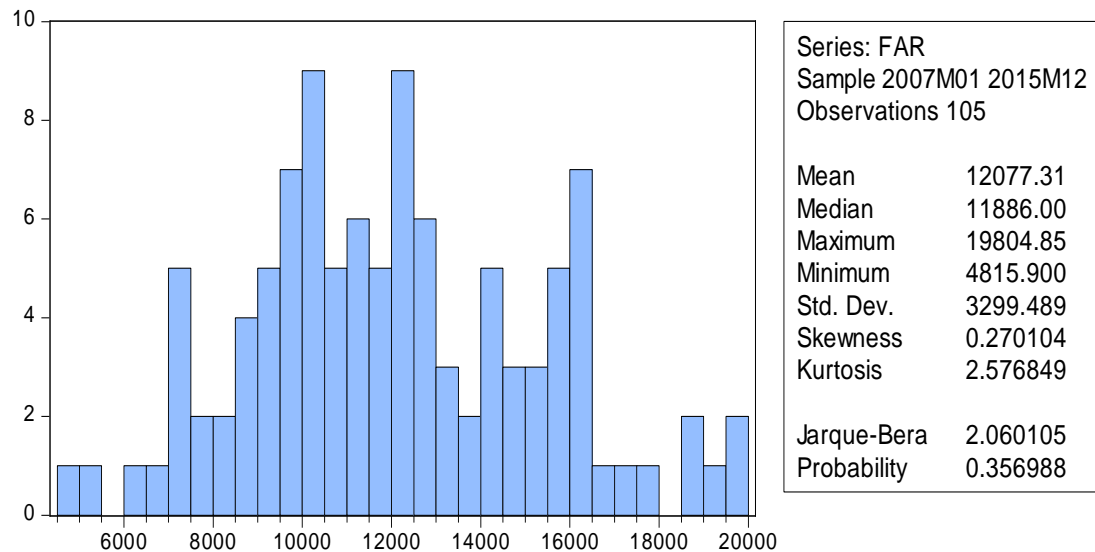
المبحث الثاني : نتائج الدراسة و المناقشة

- 1 - تطبيق طريقة Box Jenkins

يعود اختيارنا لمبيعات الفرينة الشهرية إلى حاجتنا لأكبر عدد من المشاهدات، حيث العمل على قيم سنوية يجعل عدد المشاهدات غير كافية حيث تتضمن تقنية التنبؤ سلسل تتكون من حوالي 75 مشاهدة.

-1 دراسة استقرارية السلسلة.

الشكل رقم 9 : الدراسة الوصفية للسلسلة الزمنية



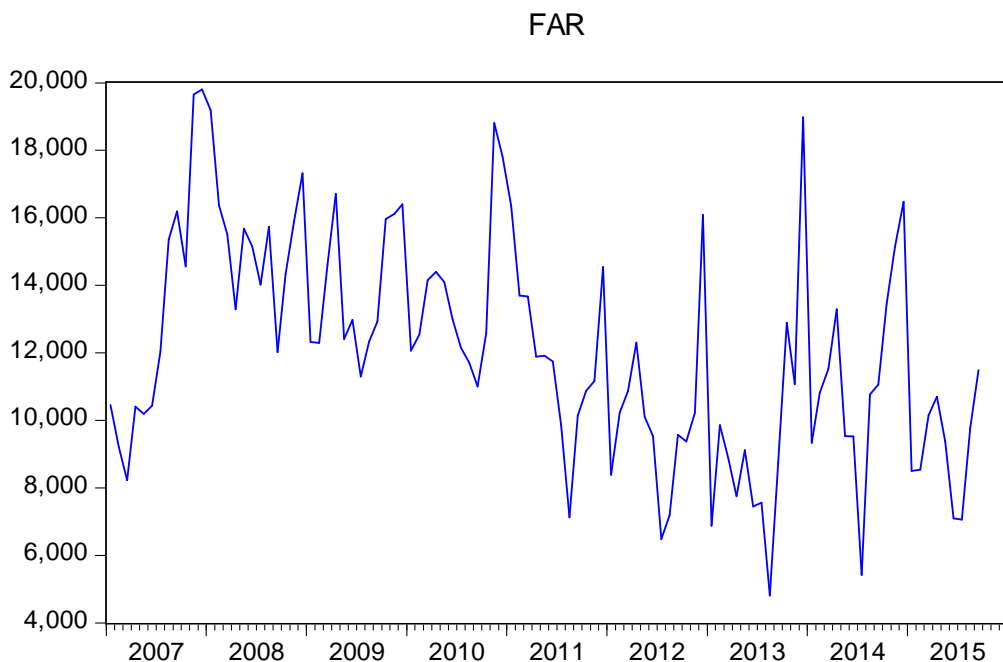
H_0 : المعطيات تتبع توزيع طبيعي H_1 : المعطيات لا تتبع توزيع طبيعي

نلاحظ ان معامل kurtosis يقترب من الصفر و معامل skewness يقترب من 3 اذن المعطيات تتبع التوزيع الطبيعي وبما ان معنوية jarque bera > 0.05 اذن نقبل الفرضية الصفرية ونرفض H_1 أي المعطيات تتبع التوزيع الطبيعي

التعرف على الشكل النظري لسلسلة مبيعات الفرينة :

الطريقة البيانية :

الشكل رقم 10 يوضح منحنى سلسلة مبيعات الفرينة far



المصدر : برنامج eviews من اعداد الباحثة

نلاحظ من خلال الشكل الذي يمثل سلسلة VENTES_FARINE إن السلسلة تخضع للشكل التجميعي الذي يكتب على الشكل :

$$X_t = T_t + C_t + S_t + \varepsilon_t$$

وهذا لأن منحنى السلسلة محصور بين خطين متوازيين كما يوضحه الشكل

رقم 10 التالي

الطريقة الإحصائية:

نستعمل طريقة الاختبار الانحداري لـ Buys_Ballot التي تعد من أنجح الطرق الإحصائية لتحديد الشكل النظري الذي تخضع له السلسلة الزمنية، الذي يتمثل

مبدأها في تقدير المعلمة \hat{b} بتطبيق طريقة المربعات الصغرى حيث أن \hat{b} معطاة

$$\hat{b} = \frac{\sum_{i=1}^m \delta_i \bar{X}_i - m \bar{\bar{X}}}{\sum_{i=1}^m \bar{X}_{i+1}^2 - m \bar{\bar{X}}^2}$$

بالصيغة التالية:

حيث: δ_i : الانحراف المعياري لكل سنة.

\bar{X} :المتوسط الحسابي لكل سنة.

$\bar{\bar{X}}$:المتوسط الحسابي الإجمالي لكل السنوات.

وتكون عملية التطبيق العددي كما يلي :

نقوم باختبار معنوية النموذج التالي

الجدول(1): يمثل المتوسط الحسابي والانحراف المعياري من 2008 الى 2015

2015	2014	2013	2012	2011	2010	2009	2008	السنوات
11361,67	9502,39	10028,50	11915,05	13694,20	13863,25	15373,83	13046,41	المتوسط الحسابي
2946,299	3629,11	2467,16	2428,24	2399,39	1959,95	1869,18	3982,66	الانحراف المعياري

المصدر : من اعداد الباحثة

الجدول: يمثل نموذج الانحراف المعياري بدلاله الوسط الحسابي

Dependent Variable: ECART				
Method: Least Squares				
Date: 12/14/15 Time: 17:05				
Sample (adjusted): 20082015				
Included observations: 8 after adjustments				
Variable	Coefficient	Std. Error	t-Statistic	Prob.
C	5047.370	1659.816	3.040921	0.0228
MOYENNE	-0.189268	0.132881	-1.424349	0.2042
R-squared	0.252687	Mean dependent var	2710.253	
Adjusted R-squared	0.128135	S.D. dependent var	758.2567	
S.E. of regression	708.0123	Akaike info criterion	16.17512	
Sum squared resid	3007689.	Schwarz criterion	16.19498	
Log likelihood	-62.70047	Hannan–Quinn criter.	16.04117	
F-statistic	2.028769	Durbin–Watson stat	1.475252	
Prob(F-statistic)	0.204215			

المصدر: من اعداد الباحثة باستعمال الـ eviews

H_0 : السلسلة تخضع للشكل التجميعي $(\beta = 0)$ H_1 : السلسلة تخضع للشكل الجدائي $(\beta \neq 0)$

أن السلسلة H_0 أي قبل فرضية $t_{cal} < t_{tab}$ $\leftarrow |t_c^1| = 1,42 < t_{(8)}^{0.05} = 2,3$

تُخضع للشكل التجميعي $X_t = T_t + C_t + S_t + \varepsilon_t$

دراسة استقرارية السلسلة الاصلية far

الجدول رقم 2: النموذج الثالث لدیکی فولر

Null Hypothesis: FAR has a unit root

Exogenous: Constant, Linear Trend

Lag Length: 0 (Automatic - based on SIC, maxlag=12)

	t-Statistic	Prob.*
Augmented Dickey-Fuller test statistic	-5.766658	0.0000
Test critical values:		
1% level	-4.048682	
5% level	-3.453601	
10% level	-3.152400	

*MacKinnon (1996) one-sided p-values.

Augmented Dickey-Fuller Test Equation

Dependent Variable: D(FAR)

Method: Least Squares

Date: 04/26/16 Time: 23:35

Sample (adjusted): 2007M02 2015M09

Included observations: 104 after adjustments

Variable	Coefficient	Std. Error	t-Statistic	Prob.
FAR(-1)	-0.486831	0.084422	-5.766658	0.0000
C	7300.747	1346.398	5.422428	0.0000
@TREND(2007M01)	-26.82616	9.277087	-2.891657	0.0047
R-squared	0.247826	Mean dependent var	10.02500	
Adjusted R-squared	0.232932	S.D. dependent var	2847.965	
S.E. of regression	2494.317	Akaike info criterion	18.50984	
Sum squared resid	6.28E+08	Schwarz criterion	18.58612	
Log likelihood	-959.5116	Hannan-Quinn criter.	18.54074	
F-statistic	16.63876	Durbin-Watson stat	2.100313	
Prob(F-statistic)	0.000001			

المصدر: من اعداد الباحثة باستعمال برنامج eviews

نقوم بالاختبار التالي :

H_1 : لا يوجد جذر الوحدة

H_0 : يوجد جذر الوحدة

نلاحظ ان القيمة المحسوبة لدیکی فولر اقل من القيمة الجدولية له $-5.76 < -3.45$

و بالتالي نرفض الفرضية الصفرية و نقبل الفرضية H_1 اي سلسلة مبيعات الفرينة

مستقرة far

نقوم بالاختبار التالي :

H_0 : عدم وجود مركبة الإتجاه العام

H_1 : وجود مركبة الإتجاه العام

نلاحظ ان القيمة المحسوبة لاتجاه العام هي -2.89 هي اصغر من قيمته الجدولية التي تقدر ب 2.79 اذن نقبل الفرضية المعدومة مما يدل على عدم وجود اتجاه عام في سلسلة مبيعات الفرينة

الجدول رقم 3: النموذج الثاني لدیکی فولر :

Null Hypothesis: FAR has a unit root

Exogenous: Constant

Lag Length: 0 (Automatic - based on SIC, maxlag=12)

	t-Statistic	Prob.*
Augmented Dickey-Fuller test statistic	-4.820645	0.0001
Test critical values:		
1% level	-3.494378	
5% level	-2.889474	
10% level	-2.581741	

*MacKinnon (1996) one-sided p-values.

Augmented Dickey-Fuller Test Equation

Dependent Variable: D(FAR)

Method: Least Squares

Date: 05/25/16 Time: 12:46

Sample (adjusted): 2007M02 2015M09

Included observations: 104 after adjustments

Variable	Coefficient	Std. Error	t-Statistic	Prob.
FAR(-1)	-0.370077	0.076769	-4.820645	0.0000
C	4481.645	961.5501	4.660854	0.0000
R-squared	0.185555	Mean dependent var	10.02500	
Adjusted R-squared	0.177570	S.D. dependent var	2847.965	
S.E. of regression	2582.760	Akaike info criterion	18.57015	
Sum squared resid	6.80E+08	Schwarz criterion	18.62100	
Log likelihood	-963.6477	Hannan-Quinn criter.	18.59075	
F-statistic	23.23862	Durbin-Watson stat	2.191791	
Prob(F-statistic)	0.000005			

eviews : من اعداد الباحثة باستعمال برنامج

نقوم بالاختبار التالي :

H_1 : لا يوجد جذر الوحدة

H_0 : يوجد جذر الوحدة

نلاحظ ان القيمة المحسوبة لديکي فولر اقل من القيمة الجدولية له $-4.82 < -2.88$

و بالتالي نرفض الفرضية الصفرية و نقبل الفرضية H_1 اي سلسلة مبيعات الفرينة

مستقرة في النموذج الثاني .

نقوم بالاختبار التالي :

H_1 : وجود الثابت

H_0 : عدم وجود الثابت

نلاحظ ان الثابت c له قيمة جدولية تقدر بـ 3.11 وهي اصغر من قيمته

المحسوبة التي تقدر بـ 4.66 اذن نقبل الفرضية الصفرية و نرفض

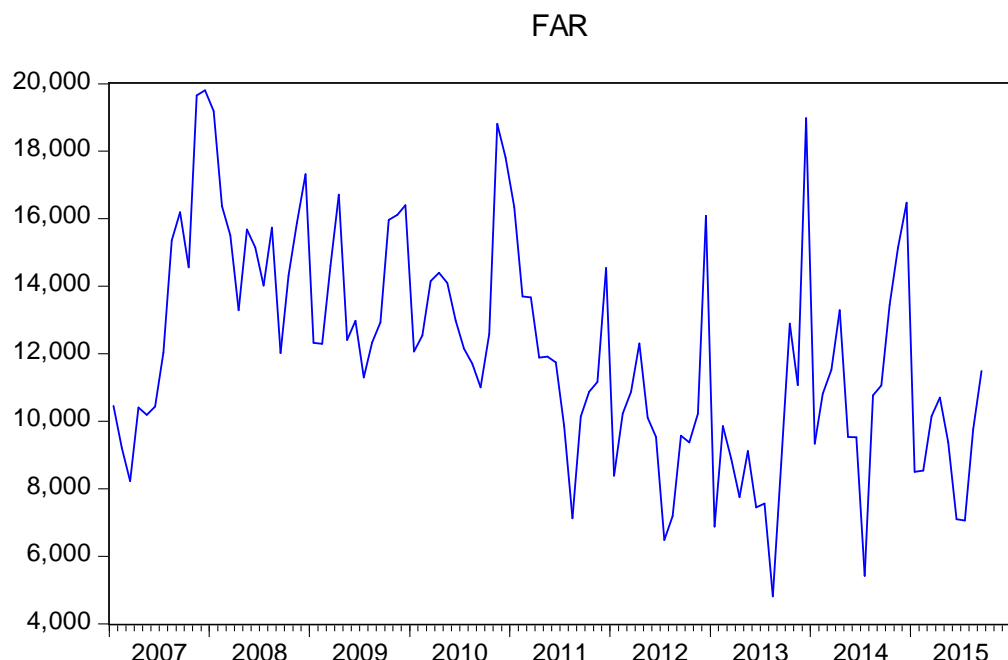
الفرضية البديلة اي وجود الثابت في السلسلة far

المرکبة الفصلية:

الاختبار البياني

للكشف عن المرکبة الفصلية نستعمل الاختبار البياني كمرحلة أولى فان لم تكن

النتائج واضحة نستعمل اختبار تحليل التباين.

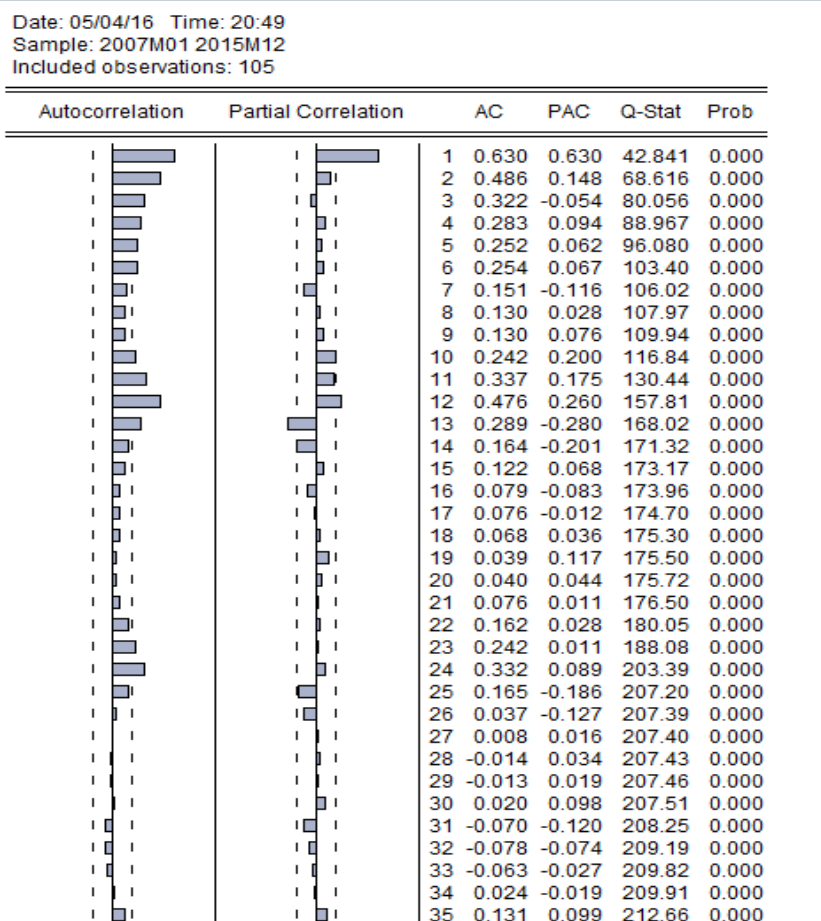


المصدر : من اعداد الباحثة باستعمال برنامج eviews

من خلال التمثيل البياني للشكل يبين هذا التمثيل البياني وجود تغيرات فصلية في السلسلة .

ويمكن التأكيد أكثر من وجود المركبة الفصلية من خلال correogramme حيث Partiel Corrélation) نلاحظ خروج الأعمدة مجال الثقة دالة الارتباط الجزئي

في كل من 1، 12 و 25 مما يدل على وجود المركبة الفصلية مقدرة بـ 12 شهر، كما هو موضح في البيان التالي.



eviews: من اعداد الباحثة باستعمال برنامج

الجدول رقم 4: يبين correogramme لسلسلة مبيعات الفرينة (far) والمحصل عليه بواسطة برنامج Eviews .

بعد نزع المركبة الفصلية وباستعمال برنامج Eviews تحصلنا على السلسلة farsa

قمنا بايجاد معاملات المركبة الفصلية وهي مبينة في الجدول التالي

الجدول 5: يبيّن معاملات المركبات الفصلية بالشهور

Date: 05/04/16 Time: 12:35

Sample: 2007M01 2015M12

Included observations: 105

Difference from Moving Average

Original Series: FAR

Adjusted Series: FARSA

Scaling Factors:

1	-739.2636
2	-521.2821
3	166.1187
4	363.6901
5	-570.5260
6	-1023.652
7	-2576.723
8	-1790.735
9	-968.0709
10	567.4755
11	2324.751
12	4768.216

المصدر: من اعداد الباحثة باستعمال برنامج eviews

إيجاد درجة التأخر السلسلة VENTES_FARINE_far : إذن من أجل تطبيق

اختبار ديكى فولار لابد من إيجاد درجة التأخر في السلسلة

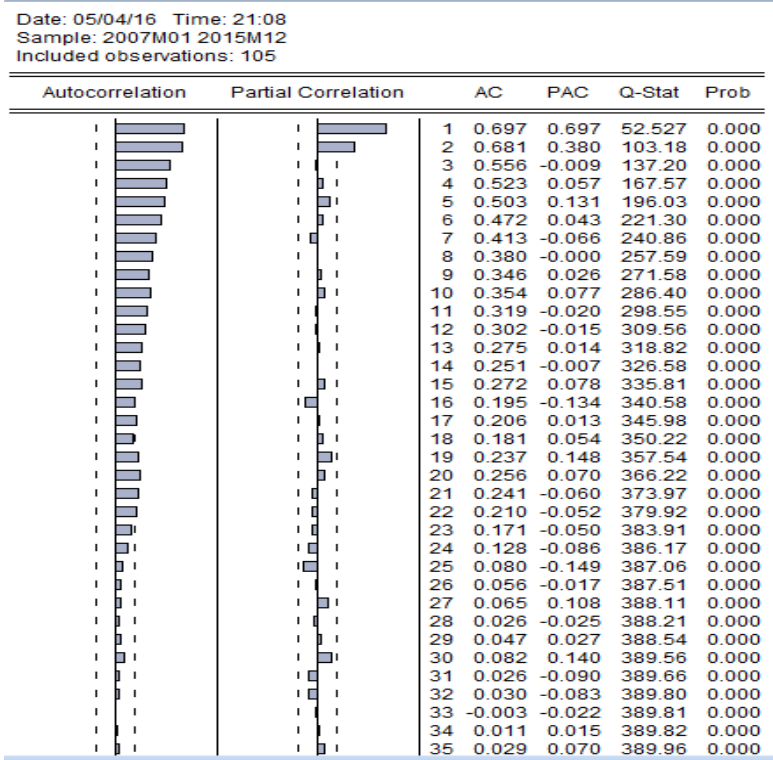
باستعمال برنامج Eviews نستطيع تقدير النماذج ذو التأخيرات 5 1.2.3.4

نموذج 3		نموذج 2		نموذج 1		درجة التأخر
CHwarz	Akaike	CHwarz	Akaike	CHwarz	Akaike	
18.769	18.743	18.621	18.570	18.586	18.509	0
18.726	18.675	18.621	18.570	18.586	18.509	1
18.726	18.675	18.621	18.570	18.586	18.509	2
18.726	18.675	18.621	18.570	18.586	18.509	3
18.726	18.675	18.621	18.570	18.586	18.509	4
18.726	18.675	18.621	18.570	18.586	18.509	5

نتائج تحديد درجة التأخر باستخدام معيار Akaike و CHwarz تشير الى ان درجة

التأخر هي 1

الشكل رقم 5 يبيّن correlogramme لسلسلة farsa



المصدر : من اعداد الباحثة باستخدام برنامج eviews

من خلال التمثيل البياني لدالة الارتباط الذاتي و الارتباط الذاتي الجزئي correlogramme والذي يشير الى معنوية معاملات الارتباط الذاتي مع تناقصها ببطئ والذي يفسر بعدم استقرارية السلسلة الزمنية farsa منزوعة الفصلية

الجدول رقم 7 : النموذج الثالث لاختبار دیکی فولر :

Null Hypothesis: FARSA has a unit root

Exogenous: Constant, Linear Trend

Lag Length: 1 (Automatic - based on SIC, maxlag=12)

	t-Statistic	Prob.*
Augmented Dickey-Fuller test statistic	-3.793784	0.0207
Test critical values:		
1% level	-4.049586	
5% level	-3. 454032	
10% level	-3.152652	

*MacKinnon (1996) one-sided p-values.

Augmented Dickey-Fuller Test Equation

Dependent Variable: D(FARSA)

Method: Least Squares

Date: 05/03/16 Time: 02:28

Sample (adjusted): 2007M03 2015M09

Included observations: 103 after adjustments

Variable	Coefficient	Std. Error	t-Statistic	Prob.
FARSA(-1)	-0.343506	0.090545	-3.793784	0.0003
D(FARSA(-1))	-0.310247	0.093483	-3.318735	0.0013
C	5272.411	1404.810	3.753112	0.0003
@TREND(2007M01)	-20.16955	7.602478	-2.653023	0.0093
R-squared	0.327666	Mean dependent var	26.44164	
Adjusted R-squared	0.307292	S.D. dependent var	2111.688	
S.E. of regression	1757.538	Akaike info criterion	17.81928	
Sum squared resid	3.06E+08	Schwarz criterion	17.92160	
Log likelihood	-913.6927	Hannan-Quinn criter.	17.86072	
F-statistic	16.08276	Durbin-Watson stat	1.977972	
Prob(F-statistic)	0.000000			

المصدر : من اعداد الباحثة باستخدام برنامج eviews

نقوم باختبار الاستقرارية :

H_1 : لا يوجد جذر الوحدة H_0 : يوجد جذر الوحدة

القيمة المحسوبة لدیکی فولر اصغر من القيمة الجدولية له
 $-3.45 < -3.79$ وبالتالي نرفض الفرضية الصفرية و نقبل H_1 اي سلسلة
 المبيعات farsa متزوعة الفصلية في النموذج الثالث مستقرة

بالنسبة للاتجاه العام:

H_0 : عدم وجود مركبة الإتجاه العام

H_1 : وجود مركبة الإتجاه العام

القيمة المحسوبة للاتجاه العام 2.65 - اصغر من القيمة الجدولية له 2.79 و بالتالي نقبل

الفرضية المعدومة اي عدم وجود اتجاه عام

الجدول رقم 08: النموذج الثاني لاختبار ديكى فولر

Null Hypothesis: FARSA has a unit root

Exogenous: Constant

Lag Length: 1 (Automatic - based on SIC, maxlag=12)

	t-Statistic	Prob.*
Augmented Dickey-Fuller test statistic	-2.647601	0.0869
Test critical values:		
1% level	-3.495021	
5% level	-2.889753	
10% level	-2.581890	

*MacKinnon (1996) one-sided p-values.

Augmented Dickey-Fuller Test Equation

Dependent Variable: D(FARSA)

Method: Least Squares

Date: 05/04/16 Time: 12:45

Sample (adjusted): 2007M03 2015M09

Included observations: 103 after adjustments

Variable	Coefficient	Std. Error	t-Statistic	Prob.
FARSA(-1)	-0.189141	0.071439	-2.647601	0.0094
D(FARSA(-1))	-0.383774	0.091937	-4.174317	0.0001
C	2327.129	886.4439	2.625241	0.0100
R-squared	0.279866	Mean dependent var	26.44164	
Adjusted R-squared	0.265463	S.D. dependent var	2111.688	
S.E. of regression	1809.825	Akaike info criterion	17.86854	
Sum squared resid	3.28E+08	Schwarz criterion	17.94528	
Log likelihood	-917.2299	Hannan-Quinn criter.	17.89962	
F-statistic	19.43150	Durbin-Watson stat	1.999365	
Prob(F-statistic)	0.000000			

المصدر : من اعداد الباحثة باستخدام برنامج eviews

نقوم باختبار الاستقرارية :

H_1 : لا يوجد جذر الوحدة

H_0 : يوجد جذر الوحدة

نلاحظ ان القيمة المحسوبة لاختبار ديكی فولر 2.64- اکبر من القيمة الجدولية له 2.88- وبالتالي نقبل الفرضية الصفرية اي ان سلسلة المبيعات farsa في النموذج الثاني غير مستقرة .

الجدول رقم09:النموذج الاول لدیکی فولر :

Null Hypothesis: FARSA has a unit root

Exogenous: None

Lag Length: 1 (Automatic - based on SIC, maxlag=12)

	t-Statistic	Prob.*
Augmented Dickey-Fuller test statistic	-0.367374	0.5500
Test critical values:		
1% level	-2.587607	
5% level	-1.943974	
10% level	-1.614676	

*MacKinnon (1996) one-sided p-values.

Augmented Dickey-Fuller Test Equation

Dependent Variable: D(FARSA)

Method: Least Squares

Date: 05/04/16 Time: 12:46

Sample (adjusted): 2007M03 2015M09

Included observations: 103 after adjustments

Variable	Coefficient	Std. Error	t-Statistic	Prob.
FARSA(-1)	-0.005432	0.014785	-0.367374	0.7141
D(FARSA(-1))	-0.475436	0.087494	-5.433902	0.0000
R-squared	0.230235	Mean dependent var		26.44164
Adjusted R-squared	0.222613	S.D. dependent var		2111.688
S.E. of regression	1861.865	Akaike info criterion		17.91577
Sum squared resid	3.50E+08	Schwarz criterion		17.96693
Log likelihood	-920.6622	Hannan-Quinn criter.		17.93649
Durbin-Watson stat	2.054041			

المصدر : من اعداد الباحثة باستخدام برنامج eviews

نقوم باختبار الاستقرارية :

H_1 : لا يوجد جدر الوحدة

H_0 : يوجد جدر الوحدة

القيمة المحسوبة لدیکی فولر اکبر من القيمة الجدولية له

-0.36>1.94 وبالتالي نقبل الفرضية الصفرية ونرفض H_1 اي سلسلة المبيعات farsa منزوعة الفصلية في النموذج الاول غير مستقرة.

نلاحظ ان السلسلة farsa في النموذج الثالث مستقرة و في النموذجين الاول والثاني غير مستقرة

- اذن نستنتج ان السلسلة farsa منزوعة الفصلية غير مستقرة

يجب نزع الفروقات حتى تستقر السلسلة farsa

الجدول 10: اختبار الفروقات من الدرجة الاولى بالنسبة للنموذج الثاني :

Null Hypothesis: D(FARSA) has a unit root
 Exogenous: Constant
 Lag Length: 0 (Automatic - based on SIC, maxlag=12)

	t-Statistic	Prob.*
Augmented Dickey-Fuller test statistic	-16.94861	0.0000
Test critical values:		
1% level	-3.495021	
5% level	-2.889753	
10% level	-2.581890	

*MacKinnon (1996) one-sided p-values.

Augmented Dickey-Fuller Test Equation
 Dependent Variable: D(FARSA,2)
 Method: Least Squares
 Date: 05/04/16 Time: 22:48
 Sample (adjusted): 2007M03 2015M09
 Included observations: 103 after adjustments

Variable	Coefficient	Std. Error	t-Statistic	Prob.
D(FARSA(-1))	-1.478224	0.087218	-16.94861	0.0000
C	28.16033	183.5564	0.153415	0.8784
R-squared	0.739862	Mean dependent var	22.84774	
Adjusted R-squared	0.737286	S.D. dependent var	3634.514	
S.E. of regression	1862.891	Akaike info criterion	17.91687	
Sum squared resid	3.51E+08	Schwarz criterion	17.96803	
Log likelihood	-920.7190	Hannan-Quinn criter.	17.93760	
F-statistic	287.2555	Durbin-Watson stat	2.057393	
Prob(F-statistic)	0.000000			

H_0 : لا يوجد جذر الوحدة H_1 : يوجد جذر الوحدة

القيمة المحسوبة لدیکی فولر اصغر من القيمة الجدولية له $-2.88 < -16.94$ - اذن
نرفض الفرضية الصفرية و نقبل الفرضية البديلة اي السلسة اصبحت مستقرة عند
النموذج الثاني

الجدول رقم 11 : اختبار الفروقات من الدرجة الاولى بالنسبة للنموذج الاول :

Null Hypothesis: D(FARSA) has a unit root

Exogenous: None

Lag Length: 0 (Automatic - based on SIC, maxlag=12)

	t-Statistic	Prob.*
Augmented Dickey-Fuller test statistic	-17.03009	0.0000
Test critical values:		
1% level	-2.587607	
5% level	-1.943974	
10% level	-1.614676	

*MacKinnon (1996) one-sided p-values.

Augmented Dickey-Fuller Test Equation

Dependent Variable: D(FARSA,2)

Method: Least Squares

Date: 05/04/16 Time: 23:01

Sample (adjusted): 2007M03 2015M09

Included observations: 103 after adjustments

Variable	Coefficient	Std. Error	t-Statistic	Prob.
D(FARSA(-1))	-1.478202	0.086799	-17.03009	0.0000
R-squared	0.739801	Mean dependent var	22.84774	
Adjusted R-squared	0.739801	S.D. dependent var	3634.514	
S.E. of regression	1853.953	Akaike info criterion	17.89769	
Sum squared resid	3.51E+08	Schwarz criterion	17.92327	
Log likelihood	-920.7310	Hannan-Quinn criter.	17.90805	
Durbin-Watson stat	2.056957			

eviews : من اعداد الباحثة باستخدام برنامج

H_1 : لا يوجد جذر الوحدة

H_0 : يوجد جذر الوحدة

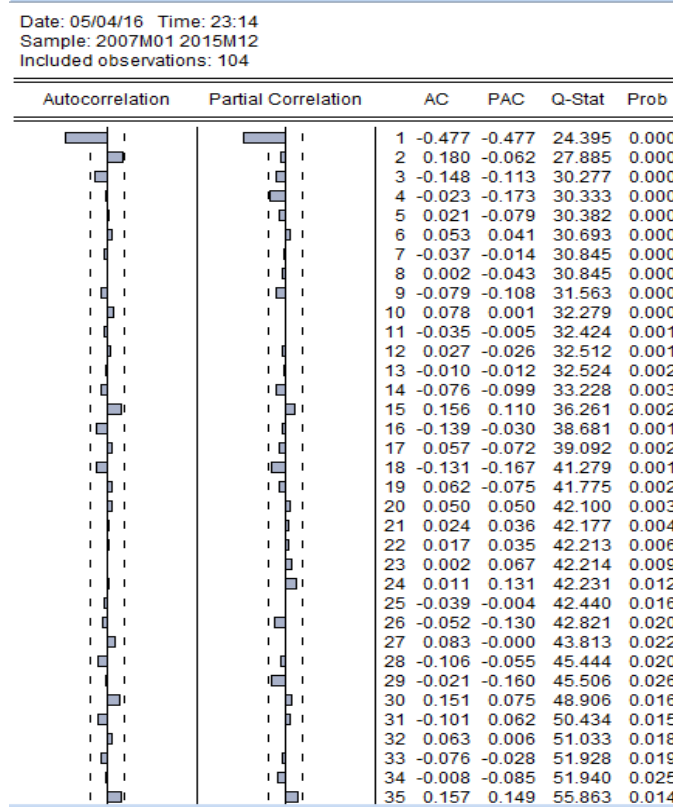
القيمة المحسوبة لدیکی فولر اصغر من القيمة الجدولية له $-1.94 < -17.03$ - اذن

نرفض الفرضية الصفرية و نقبل الفرضية البديلة اي السلسة اصبحت مستقرة عند

النموذج الاول

2-مرحلة التعرف :

**الجدول رقم 12: التمثيل البياني لدالة الارتباط الذاتي و الارتباط الذاتي الجزئي
للسلسلة الزمنية : farsa**



المصدر : من اعداد الباحثة باستخدام برنامج eviews

بما انه يوجد عمود واحد خارج عن مجال الثقة في PAC اذن يكون النموذج AR(1) هو AR(P)

بما انه يوجد عمود واحد خارج مجال الثقة في AC اذن يكون النموذج MA(q) هو MA(1)

3-مرحلة التقدير: تقدير النماذج

نقوم بتقدير معالم النماذج المختلفة للسلسلة بواسطة المربعات الصغرى للسلسلة باستعمال برنامج Eviews ، فيتم اختيار النموذج الأمثل على حسب المعايير التالية.

معيار (Aikaike (Alk و Schwartz(BIC بحيث تأخذ أقل القيم لكل معيار.

و يتم اختيار النموذج الأفضل من خلال الجدول رقم 13 الآتي :

<i>Shwartz</i>	<i>Aikaike</i>	النموذج \ المعايير
17.94	17.89	MA(1)
17.96	17.91	AR(1)
17.99	17.91	ARIMA

من خلال الجدول نستنتج أن أفضل نموذج هو MA(1) للتتبؤ.

4-مرحلة التشخيص:

بعد المفاضلة بين النماذج و اختيار نموذج MA(1) للتتبؤ نقوم بدراسة الباقي لهذا النموذج و هذا بعد تقديره

الجدول رقم 14: تقدير نموذج MA(1)

Dependent Variable: D(FARSA)

Method: Least Squares

Date: 05/25/16 Time: 13:19

Sample (adjusted): 2007M02 2015M09

Included observations: 104 after adjustments

Convergence achieved after 6 iterations

MA Backcast: 2007M01

Variable	Coefficient	Std. Error	t-Statistic	Prob.
C	10.38858	82.00315	0.126685	0.8994
MA(1)	-0.552593	0.083649	-6.606124	0.0000
R-squared	0.242030	Mean dependent var	12.22507	
Adjusted R-squared	0.234599	S.D. dependent var	2106.407	
S.E. of regression	1842.837	Akaike info criterion	17.89504	
Sum squared resid	3.46E+08	Schwarz criterion	17.94590	
Log likelihood	-928.5423	Hannan-Quinn criter.	17.91565	
F-statistic	32.56991	Durbin-Watson stat	2.011042	
Prob(F-statistic)	0.000000			

الفصل الثاني تطبيق طریقتین البوکس جنکینز والتمهید الأسي

Inverted MA Roots .55

المصدر : من اعداد الباحثة بالاستعمال ببرنامج EVIEWS

$$D \text{ FARSA} = 10.38858 - 0.552593 \varepsilon_{t-1} + e_t$$

بما ان $MA(1)$ له معنوية تقدر ب 0.00 و هي اصغر من 0.005 فهو معنوي
اما الثابت C فله معنوية تقدر ب 0.89 و هي اكبر من 0.05 اذن الثابت C غير معنوي

Dependent Variable: D(FARSA)

Method: Least Squares

Date: 05/14/16 Time: 16:03

Sample (adjusted): 2007M02 2015M09

Included observations: 104 after adjustments

Convergence achieved after 6 iterations

MA Backcast: 2007M01

Variable	Coefficient	Std. Error	t-Statistic	Prob.
MA(1)	-0.552778	0.083218	-6.642537	0.0000
R-squared	0.241910	Mean dependent var	12.22507	
Adjusted R-squared	0.241910	S.D. dependent var	2106.407	
S.E. of regression	1834.014	Akaike info criterion	17.87597	
Sum squared resid	3.46E+08	Schwarz criterion	17.90140	
Log likelihood	-928.5505	Hannan-Quinn criter.	17.88627	
Durbin-Watson stat	2.010389			
Inverted MA Roots	.55			

المصدر : من اعداد الباحثة بالاستعمال ببرنامج EVIEWS

من خلال جدول تقدير النموذج $MA(1)$ نلاحظ ان عند نزع الثابت C تحسن النموذج Schwarz و ذلك لتناقص معامل Akaike و $MA(1)$

$$D \text{ FARSA} = -0.552778 \varepsilon_{t-1} + e_t$$

اختبار أن الباقي عبارة عن شوشرة بيضاء :

الاختبار البياني ويمكن تأكيد ذلك من خلال التمثيل البياني corréogramme للباقي حيث نلاحظ أن الأعمدة دالة الارتباط الذاتي كلها محصورة في مجال الثقة، كما هو موضح فيما يلي:

الجدول رقم 15 : التمثيل البياني لدالة الارتباط الذاتي للباقي :

	Autocorrelation	Partial Correlation	AC	PAC	Q-Stat	Prob
1	-0.013	-0.013	0.0184			
2	0.117	0.117	1.5056	0.220		
3	-0.131	-0.130	3.3913	0.183		
4	-0.067	-0.084	3.8831	0.274		
5	0.015	0.047	3.9088	0.418		
6	0.043	0.047	4.1192	0.532		
7	-0.042	-0.072	4.3154	0.634		
8	-0.048	-0.061	4.5850	0.710		
9	-0.072	-0.043	5.1882	0.737		
10	0.044	0.052	5.4149	0.797		
11	-0.012	-0.023	5.4322	0.861		
12	-0.000	-0.039	5.4322	0.908		
13	-0.041	-0.028	5.6335	0.933		
14	-0.072	-0.060	6.2693	0.936		
15	0.084	0.088	7.1521	0.929		
16	-0.124	-0.140	9.0895	0.873		
17	-0.043	-0.099	9.3282	0.899		
18	-0.132	-0.092	11.555	0.826		
19	0.051	0.067	11.897	0.853		
20	0.116	0.108	13.649	0.804		
21	0.109	0.043	15.223	0.763		
22	0.060	0.037	15.705	0.786		
23	0.028	0.057	15.812	0.825		
24	-0.022	0.014	15.879	0.860		
25	-0.090	-0.147	17.003	0.849		
26	-0.082	-0.110	17.959	0.844		
27	-0.006	0.016	17.964	0.877		
28	-0.113	-0.094	19.802	0.839		
29	-0.016	-0.053	19.841	0.870		
30	0.137	0.157	22.648	0.792		
31	-0.028	-0.005	22.770	0.825		
32	0.026	-0.049	22.875	0.854		
33	-0.045	-0.007	23.192	0.872		
34	0.030	0.024	23.330	0.894		
35	0.161	0.162	27.450	0.779		
36	-0.032	-0.064	27.617	0.808		

المصدر : من اعداد الباحثة بالاستعمال ببرنامج EVIEWS

نستنتج ان الباقي تشكل تشويش أبيض لأن كل من AC لا تختلف معنويا عن الصفر

اختبار Ljung-Box :

$$\rho_1 + \rho_2 + \cdots + \rho_k = 0 \quad : H_0$$

H_1 : يوجد على الاقل معامل ارتباط واحد ρ_i معنويا يختلف عن الصفر

$$LB(k) = T(T+2) \sum_{i=1}^k \frac{\rho_i^2}{T-i}$$

ρ_i دالة الارتباط الذاتي للبواقي ذات الدرجة i

درجة التأخر المختارة لحساب الارتباطات الذاتية K :

T : عدد المشاهدات

$K=24$ ونقرأ أحصائية LB لـ Ljung-Box $= 15.87$ وهي 15.87 ونقارنها مع

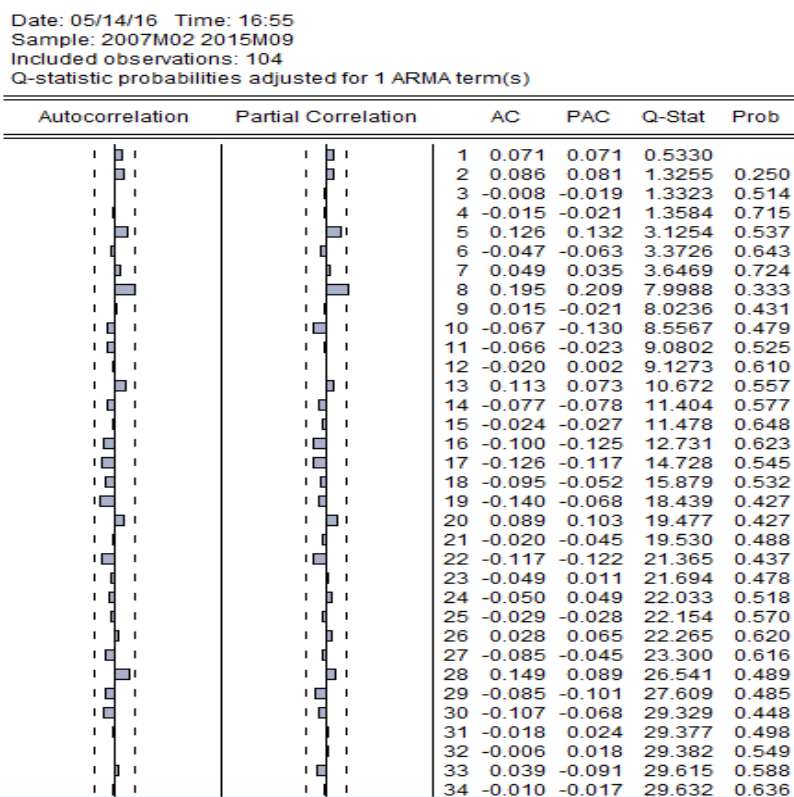
$\chi^2_{(k-p-q)}$ وبما أننا اخترنا

$\chi^2_{(24)} = 36.41$ وتصبح $k=24$ لدينا ARIMA(0.1.1)

ومنه $LB=27.61 < \chi^2_{(24)} = 36.41$ ومنه نقبل الفرضية المعدومة أن

البواقي عبارة عن شوشرة بيضاء

الجدول رقم 16: التمثيل البياني لدالة الارتباط الذاتي مربع :

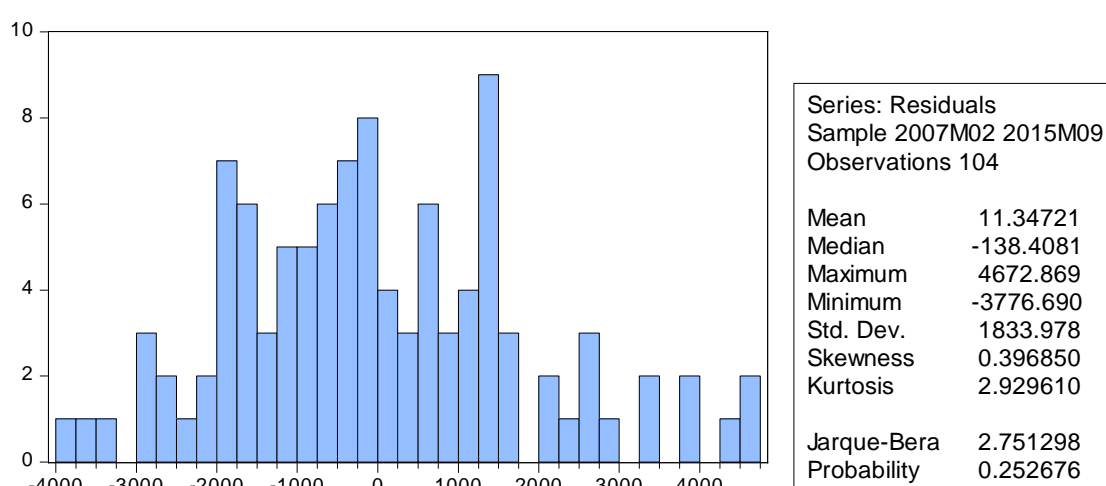


المصدر : من اعداد الباحثة بالاستعمال ببرنامج EVIEWS

نلاحظ ان معاملات كل من AC لا تختلف معنويا عن الصفر اذن هي تشكل تشویش ابيض

اختبار Jarque-Bera

الشكل رقم 11: اختبار التوزيع الطبيعي للأخطاء :



H_0 : الباقي تتبع التوزيع الطبيعي H_1 : الباقي لا تتبع التوزيع الطبيعي

$$JB = \frac{n}{6} \left(S^2 + \frac{(K - 3)^2}{4} \right)$$

S : معامل التمايز الطبيعي = 0,40

K : معامل التقطح = 3.25

n : عدد المشاهدات = 75

ومنه نقوم بمقارنة احصائية JB مع $\chi^2_{(2)}$

$$3,84 = \chi^2_{(2)} > 2.75 = JB$$

ومنه نقبل الفرضية المعدومة أن الباقي تتبع التوزيع الطبيعي

نلاحظ ان معنوية jaque Bera < 0.25 < 0.05 مما نستنتج ان الأخطاء تتبع

التوزيع الطبيعي

الجدول رقم 17 : اختبار عدم تجانس تباين الأخطاء : ARCH

Heteroskedasticity Test: ARCH

F-statistic	0.507084	Prob. F(1,101)	0.4780
Obs*R-squared	0.514542	Prob. Chi-Square(1)	0.4732

Test Equation:

Dependent Variable: RESID^2

Method: Least Squares

Date: 05/18/16 Time: 00:42

Sample (adjusted): 2007M03 2015M09

Included observations: 103 after adjustments

Variable	Coefficient	Std. Error	t-Statistic	Prob.
C	3118686.	567495.1	5.495529	0.0000
RESID^2(-1)	0.070616	0.099166	0.712098	0.4780
R-squared	0.004996	Mean dependent var	3353192.	
Adjusted R-squared	-0.004856	S.D. dependent var	4679167.	
S.E. of regression	4690514.	Akaike info criterion	33.57921	
Sum squared resid	2.22E+15	Schwarz criterion	33.63037	
Log likelihood	-1727.329	Hannan-Quinn criter.	33.59993	
F-statistic	0.507084	Durbin-Watson stat	2.005789	
Prob(F-statistic)	0.478046			

heteroscedasticite : H_1

homoscedasticite : H_0

نلاحظ من الجدول أن القيمة $LM = 0.514542 < \chi^2_{(1)} = 3.84$ و منه نقبل الفرضية H_0 اي يوجد تجانس تباين الأخطاء .

5-مرحلة التنبؤ

الجدول رقم 18 يبين :التنبؤات بطريقة بوكس جنكينز لسنة 2016:

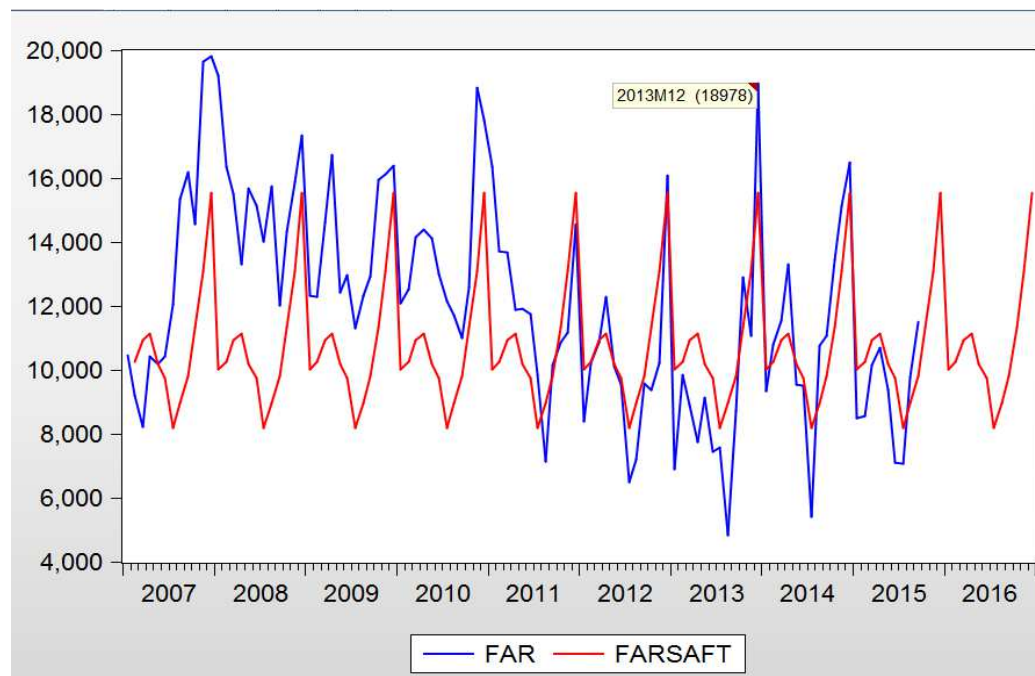
تنبؤ لقيم ventes_farine	الأشهر
10032.78	جانفي-2016
10250.76	فيفري-2016
10938.16	مارس-2016
11135.73	أفريل-2016
10201.52	ماي-2016
9748.39	جوان-2016
8195.32	جوبيلاية-2016
8981.31	أوت-2016
9803.97	سبتمبر-2016
11339.52	أكتوبر-2016
13096.79	نوفمبر-2016

15540.26

ديسمبر-2016

الشكل رقم 12: يبين مبيعات الفرينة مع تتبؤاتها الشهرية بطريقة بوكس جنکینز لسنة

2016



المصدر : من اعداد الباحثة بالاستعمال برنامج EVIEWS

2-تطبيق طريقة التمهيد الأسني لهولت ونتر

1-دراسة مركبات السلسلة VENTES_FARINE

بتطبيق اختبار Buys_Ballot وجدنا أن السلسلة VENTES_FARINE تخضع

$$X_t = T_t + C_t + S_t + \varepsilon_t$$

نقوم بتطبيق نموذج التمهيد الأسني لهولت ونتر التجميعي عن طريق برنامج

Eviews.

Date: 05/15/16 Time: 22:21

Sample: 2007M01 2015M09

Included observations: 105

Method: Holt-Winters Additive Seasonal

Original Series: FAR

Forecast Series: FARSM

Parameters:	Alpha	0.4500
	Beta	0.0000
	Gamma	0.0000
Sum of Squared Residuals		3.55E+08
Root Mean Squared Error		1839.150

End of Period Levels:	Mean	11214.50
	Trend	-20.05640
Seasonals:	2014M10	725.5500
	2014M11	2500.163
	2014M12	4942.007
	2015M01	-586.2576
	2015M02	-562.4762
	2015M03	-232.5073
	2015M04	107.9929
	2015M05	-746.3507
	2015M06	-1132.488
	2015M07	-2483.225
	2015M08	-1690.813
	2015M09	-841.5939

eviews: من اعداد الباحثة باستعمال برنامج

$$0,00 = \gamma \quad 0,00 = \beta \quad 0,45 = \alpha$$

$$355000000 = \text{مجموع مربعات الباقي}$$

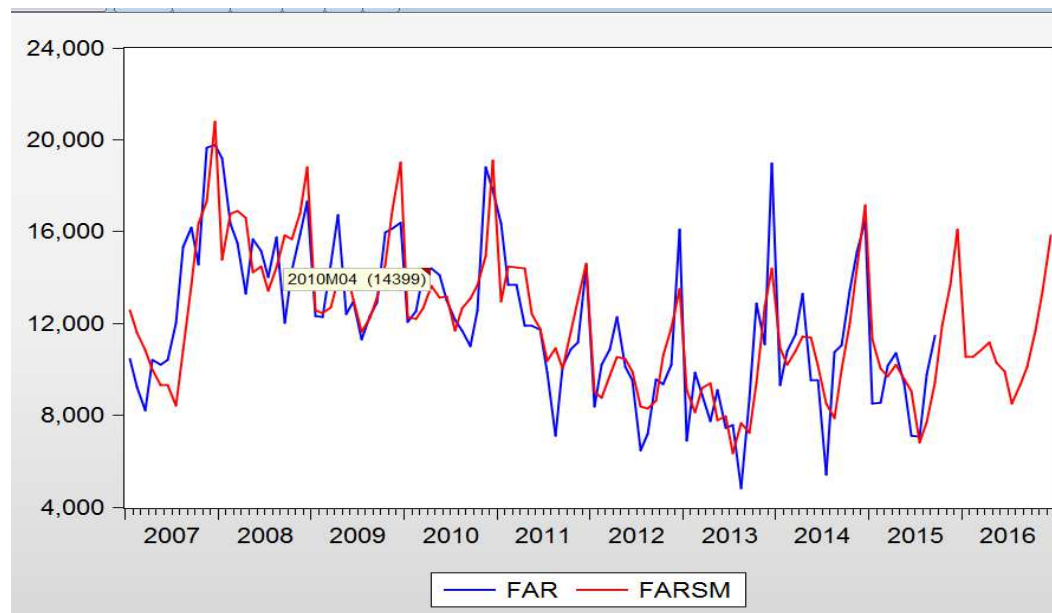
2-مرحلة التنبؤ

الجدول رقم 19: يبين التنبؤات بطريقة التمهيد الاسني لسنة 2016

تنبؤ لقيم ventes_farine	الأشهر
10548.01	جانفي-2016
10551.74	فيفري-2016
10861.65	مارس-2016
11182.10	أبريل-2016
10307.70	ماي-2016
9901.50	جوان-2016
8530.71	جويلية-2016
9303.06	أوت-2016
10132.23	سبتمبر-2016
11679.31	أكتوبر-2016
13433.87	نوفمبر-2016
15855.66	ديسمبر-2016

المصدر: من اعداد الباحثة باستعمال برنامج eviews

الشكل رقم 13: يبين مبيعات الفرينة مع تنبؤاتها الشهرية بطريقة نموذج التمهيد الأسني
لسنة 2016



المصدر : من اعداد الباحثة بالاستعمال ببرنامج EVIEWs

الجدول رقم 20 يبين: مقارنة بين نتائج البوكس جنكينز و المبيعات الحقيقة

الفرق بين القيم	القيم الحقيقة	لقيم ventes_farine	تنبؤ	الأشهر
1160.56-	8872,22	10032.78		جانفي-2016
1374.82-	8875,94	10250.76		فيفري-2016
1752.3-	9185,86	10938.16		مارس-2016
1629.43-	9506,30	11135.73		أפרيل-2016

المصدر: من اعداد الباحثة

الجدول رقم 21 يبين مقارنة بين نتائج التمهيد الأسني و المبيعات الحقيقية

الفرق بين القيم	القيم الحقيقة	تنبؤ لقيم ventes_farine	الأشهر
1675.79-	8872,22	10548.01	جانفي-2016
1675.8-	8875,94	10551.74	فيفري-2016
1675.79-	9185,86	10861.65	مارس-2016
1675.8_	9506,30	11182.10	أبريل-2016

المصدر : من اعداد الباحثة

قياس دقة التنبؤ :

معيار ثايل :

حساب معيار ثايل في طريقة بوكس جنكينز:

$$u = \frac{\sqrt{683.246}}{2104.75133 + 4891.014723} = 0.00373$$

حساب معيار ثايل في طريقة التمهيد الأسني :

$$U = \frac{\sqrt{774.016}}{2104.75133 + 4981.78} = 0.00392$$

يكون التنبؤ اكثراً دقة اذا كانت قيمة معيار ثايل تقترب من الصفر مما يدل على ان كلا الطریقتین دقیقتین في التنبؤ لأن قيمتي معيار ثايل في كل منهما تقترب من الصفر ولكن رغم ذلك تبقى طریقة بوکس جنکینز هي التي تعطی قیم أدق في التنبؤ.

خلاصة الفصل:

يلاحظ من خلال النتائج أن مبيعات الفرينة في السنة الجارية 2016م ليست على نفس الوتيرة ، وهي جد منطقية بالنظر الى ما عرفته مبيعات الفرينة من تدبدبات من الفترة الممتدة بين سنة 2008م و 2015م وهذا يظهر جليا من خلال التمثيل البياني لكل من طريقة البوکس جنکینز والتمهید الأسي . كما أن كلا الطریقتین تعطيان نتائج جيدة في التنبؤ مقارنة مع القيم الفعلية لكن تبقى دائما طريقة بوکس جنکینز هي الأدق في التنبؤ .

الخاتمة العامة:

من خلال الدراسة التي قمنا بها يمكننا القول بأن طريقي بوكس جينكينز و التمهيد الأسني رغم بساطة شكلهما الظاهري إلا أنهما تحملان تعقيدا من الناحية التطبيقية خاصة في تحديد النماذج المناسب الذي يعطي تنبؤا دقيقا، وتزداد الصعوبة في السلسل التي تتأثر بعوامل خارجية كثيرة خاصة في جانب سلسل المبيعات التي تخضع لعدة عوامل، رغم كل هذا فإن الطريقتين أثبتت دقتهما من خلال دراستنا السابقة إلا أن طريقة البوكس جنكينز أعطت أحسن النتائج بالمقارنة مع طريقة التمهيد الأسني، ولكن نقطة ضعف طريقة البوكس جنكينز تتمثل في اشتراطها لاستقرار السلسلة الزمنية ومعظم السلسل الزمنية الاقتصادية تتميز بعدم الاستقرار، كما أن هذه الطريقة لا تستطيع الأخذ بعين الاعتبار كل المتغيرات الحاصلة في السلسلة الزمنية، وحتى النتائج التي تحصلنا عليها تبقى نسبية مادامت سلسلة المبيعات تتميز بعدم الاستقرار، فقد تدخل عوامل تؤثر على سير المبيعات كجودة المنتوج وتناسبه مع السعر والدعاية والترويج.

وبناءا على هذه النتائج يمكن للمؤسسة اتخاذ قرار مناسب قد يجنبها خسائر كبيرة بحيث تضع برنامجا للإنتاج يوافق متطلبات السوق، وهذا لتجنب تكديس المنتوجات في المخازن أو العكس.

وفي الأخير نقترح على مسيري المؤسسة مجموعة من التوصيات والاقتراحات:

- وضع نظام إحصائي شامل يعمل على دراسة جميع المناهج الكمية المطبقة في التسيير (صبر الآراء، نمذجة، التنبؤ، بحوث العمليات، مناهج الاستمثال، ...)
للتسهيل على المسيرين اتخاذ القرارات الصائبة.

– وكذلك وضع إستراتيجية تسويقية وخاصة منها الإشهارية لأنها تساهم بنسبة كبيرة في المبيعات.

– كما نقترح وضع نظام معلوماتي جيد يسهل ويقلل من الزمن الضائع لنقل المعلومة داخل المؤسسة.

– وننصح أيضاً بالتكوين المستمر والدوري للإطارات والعمال لأنه عامل مهم ينعكس على أداء العمال وبالتالي النوعية والجودة ووفرة الإنتاج.

– المراقبة والصيانة الدورية والدائمة للآلات والعتاد الإنتاجي.

قائمة المراجع :

المراجع باللغة العربية :

- 1- مولود حشمان " نماذج وتقنيات التقدير قصير المدى "ديوان المطبوعات الجامعية بنعكnon،الجزائر ، 2002
- 2- محمود جاسم الصميدعي، مدينة عثمان يوسف " مدخل في الاقتصاد الإداري " دار المناهج للنشر والتوزيع،الأردن ، ط1 ، 2006
- 3- علي رباعة فتحي ذياب ، ادارة المبيعات ،دار صفاء للنشر و التوزيع ، عمان ، 2010
- 4- سيد احمد مصطفى ، ادارة الانتاج و العمليات ، الدار الجامعية ، الطبعة الرابعة ، الاسكندرية ، مصر ، 1999
- 5- عوض منصور و عزام صبري ، مبادئ الاحصاء، دار الصفاء للنشر و التوزيع ، عمان الطبعة الاولى
- 6- عوض منصور و عزام صibri ، مبادئ الاحصاء، دار الصفاء للنشر و التوزيع ، عمان الطبعة الاولى
- 7- محمود جاسم الصميدعي ، مدينة عثمان يوسف ، مدخل في الاقتصاد الاداري ، دار المناهج للنشر و التوزيع ، عمان ، 2006
- 8- سونيا محمد البكري ، ادارة الانتاج و العمليات ، الدار الجامعية ، الاسكندرية مصر 2001
- 9- خالد زهدي خواجة، السلسل الزمنية، جامعة بغداد، 2006
- 10- ادوارد مينيكا؛زوريانا كورزيجا .الإحصاء في الإدارة مع التطبيق على الحاسب الآلي، تعریب، سرور علي إبراهيم سرور، الطبعة الثاني(الرياض:دار المریخ
- 11- جلاطو جلاي " الإحصاء التطبيقي مع تمارين و مسائل محلولة " دار الخلدونية للنشر والتوزيع،الجزائر ، 2007 ط1

- 12 عبد الحميد عبد المجيد البلداوي؛ نجم عبد الله الحميدي، **الأساليب الكمية التطبيقية في إدارة الأعمال : أتألفي العلمي الثلاثي، الإدارة ، بحوث العمليات، الإحصاء** (عمان: دار وائل 2008

المراجع باللغة الأجنبية :

- 1- T. Cuyaubere et J. Muller "control de gestion "la villeguerin éditions, Paris ,1991
- 2- Régis bourbonnais et Michel Tiraza, « analyse des séries temporelle en économiques » Edition, Presses Universitaires de France (PUF) 1998.
- 3- Régis bourbonnais, économétrie, dunod 4^{eme} édition paris 2002
- 4- Les cours de la series temporelles, Madame Moussi oume elkhaire 4^{eme} année ingénieur d'état 2006
- 5- regis bourbonnais ,econometrie 9 eme adition
- 6- Regis bourbonnais ,econometrie : manuel et exercices corriges 8 eme edition , paris , dundo , 2011
- 7- M,Davide F .G.C Michond « La Précision Approche D'un méthode statistique », 2004

المذكرات :

- 1- خلدة دلهوم ، اساليب التنبؤ بالمبيعات دراسة حالة ، مذكرة مقدمة لنيل شهادة الماجستير في العلوم التجارية ، جامعة الحاج لخضر ، باتنة ، كلية العلوم الاقتصادية و علوم التسيير، 2009
- 2- مختار بن قوية الحاج جبور ، دراسة تنبؤية لمبيعات غاز البترول المميع ، مذكرة تخرج لنيل شهادة مهندس دولة في التخطيط و الاحصاء المعهد الوطني للتخطيط و الاحصاء 2003

موقع الانترنت:

موقع : www.arab.api.org/cours4/c4/1.htm

- Modèle [1] sans tendance et sans terme constant
 Modèle [2] sans tendance et avec terme constant
 Modèle [3] avec tendance et avec terme constant

Tables de la distribution du t_{ϕ_1}

Nombre d'échantillons n	Probabilités							
	0,01	0,025	0,05	0,10	0,90	0,95	0,975	0,99
25	- 2,66	- 2,26	- 1,95	- 1,60	0,92	1,33	1,70	2,16
50	- 2,62	- 2,25	- 1,95	- 1,61	0,91	1,31	1,66	2,08
100	- 2,60	- 2,4	- 1,95	- 1,61	0,91	1,29	1,64	2,03
250	- 2,58	- 2,23	- 1,95	- 1,62	0,89	1,29	1,63	2,01
500	- 2,58	- 2,23	- 1,95	- 1,62	0,89	1,28	1,62	2,00
∞	- 2,58	- 2,23	- 1,95	- 1,62	0,89	1,28	1,62	2,00
25	- 3,75	- 3,33	- 3,00	- 2,63	- 0,37	0,00	0,34	0,72
50	- 3,58	- 3,22	- 2,93	- 2,60	- 0,40	- 0,03	0,29	0,66
100	- 3,51	- 3,17	- 2,89	- 2,58	- 0,42	- 0,05	0,26	0,63
250	- 3,46	- 3,14	- 2,88	- 2,57	- 0,42	- 0,06	0,24	0,62
500	- 3,44	- 3,13	- 2,87	- 2,57	- 0,43	- 0,07	0,24	0,61
∞	- 3,43	- 3,12	- 2,86	- 2,57	- 0,44	- 0,07	0,23	0,60
25	- 4,38	- 3,95	- 3,60	- 3,24	- 1,14	- 0,80	- 0,50	- 0,15
50	- 4,15	- 3,80	- 3,50	- 3,18	- 1,19	- 0,87	- 0,58	- 0,24
100	- 4,04	- 3,73	- 3,45	- 3,15	- 1,22	- 0,90	- 0,62	- 0,28
250	- 3,99	- 3,69	- 3,43	- 3,13	- 1,23	- 0,92	- 0,64	- 0,31
500	- 3,98	- 3,68	- 3,42	- 3,13	- 1,24	- 0,93	- 0,65	- 0,32
∞	- 3,96	- 3,66	- 3,41	- 3,12	- 1,25	- 0,94	- 0,66	- 0,33

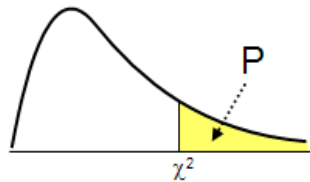
Modèle [1]

Modèle [2]

Modèle [3]

الملحق رقم 02

جدول توزيع كاي تربيع



	P										
DF	0.995	0.975	0.20	0.10	0.05	0.025	0.02	0.01	0.005	0.002	0.001
1	0.0000393	0.000982	1.642	2.706	3.841	5.024	5.412	6.635	7.879	9.550	10.828
2	0.0100	0.0506	3.219	4.605	5.991	7.378	7.824	9.210	10.597	12.429	13.816
3	0.0717	0.216	4.642	6.251	7.815	9.348	9.837	11.345	12.838	14.796	16.266
4	0.207	0.484	5.989	7.779	9.488	11.143	11.668	13.277	14.860	16.924	18.467
5	0.412	0.831	7.289	9.236	11.070	12.833	13.388	15.086	16.750	18.907	20.515
6	0.676	1.237	8.558	10.645	12.592	14.449	15.033	16.812	18.548	20.791	22.458
7	0.989	1.690	9.803	12.017	14.067	16.013	16.622	18.475	20.278	22.601	24.322
8	1.344	2.180	11.030	13.362	15.507	17.535	18.168	20.090	21.955	24.352	26.124
9	1.735	2.700	12.242	14.684	16.919	19.023	19.679	21.666	23.589	26.056	27.877
10	2.156	3.247	13.442	15.987	18.307	20.483	21.161	23.209	25.188	27.722	29.588
11	2.603	3.816	14.631	17.275	19.675	21.920	22.618	24.725	26.757	29.354	31.264
12	3.074	4.404	15.812	18.549	21.026	23.337	24.054	26.217	28.300	30.957	32.909
13	3.565	5.009	16.985	19.812	22.362	24.736	25.472	27.688	29.819	32.535	34.528
14	4.075	5.629	18.151	21.064	23.685	26.119	26.873	29.141	31.319	34.091	36.123
15	4.601	6.262	19.311	22.307	24.996	27.488	28.259	30.578	32.801	35.628	37.697
16	5.142	6.908	20.465	23.542	26.296	28.845	29.633	32.000	34.267	37.146	39.252
17	5.697	7.564	21.615	24.769	27.587	30.191	30.995	33.409	35.718	38.648	40.790
18	6.265	8.231	22.760	25.989	28.869	31.526	32.346	34.805	37.156	40.136	42.312
19	6.844	8.907	23.900	27.204	30.144	32.852	33.687	36.191	38.582	41.610	43.820
20	7.434	9.591	25.038	28.412	31.410	34.170	35.020	37.566	39.997	43.072	45.315
21	8.034	10.283	26.171	29.615	32.671	35.479	36.343	38.932	41.401	44.522	46.797
22	8.643	10.982	27.301	30.813	33.924	36.781	37.659	40.289	42.796	45.962	48.268
23	9.260	11.689	28.429	32.007	35.172	38.076	38.968	41.638	44.181	47.391	49.728
24	9.886	12.401	29.553	33.196	36.415	39.364	40.270	42.980	45.559	48.812	51.179
25	10.520	13.120	30.675	34.382	37.652	40.646	41.566	44.314	46.928	50.223	52.620
26	11.160	13.844	31.795	35.563	38.885	41.923	42.856	45.642	48.290	51.627	54.052
27	11.808	14.573	32.912	36.741	40.113	43.195	44.140	46.963	49.645	53.023	55.476
28	12.461	15.308	34.027	37.916	41.337	44.461	45.419	48.278	50.993	54.411	56.892
29	13.121	16.047	35.139	39.087	42.557	45.722	46.693	49.588	52.336	55.792	58.301
30	13.787	16.791	36.250	40.256	43.773	46.979	47.962	50.892	53.672	57.167	59.703
31	14.458	17.539	37.359	41.422	44.985	48.232	49.226	52.191	55.003	58.536	61.098

الملحق رقم 03 :

تقدير النموذج MA(1)

Dependent Variable: D(FARSA)
 Method: Least Squares
 Date: 05/28/16 Time: 02:04
 Sample (adjusted): 2007M02 2015M09
 Included observations: 104 after adjustments
 Convergence achieved after 6 iterations
 MA Backcast: 2007M01

Variable	Coefficient	Std. Error	t-Statistic	Prob.
C	10.38858	82.00315	0.126685	0.8994
MA(1)	-0.552593	0.083649	-6.606124	0.0000
R-squared	0.242030	Mean dependent var	12.22507	
Adjusted R-squared	0.234599	S.D. dependent var	2106.407	
S.E. of regression	1842.837	Akaike info criterion	17.89504	
Sum squared resid	3.46E+08	Schwarz criterion	17.94590	
Log likelihood	-928.5423	Hannan-Quinn criter.	17.91565	
F-statistic	32.56991	Durbin-Watson stat	2.011042	
Prob(F-statistic)	0.000000			
Inverted MA Roots	.55			

الملحق رقم 05 :

تقدير النموذج AR(1)

Dependent Variable: D(FARSA)
 Method: Least Squares
 Date: 05/28/16 Time: 02:07
 Sample (adjusted): 2007M03 2015M09
 Included observations: 103 after adjustments
 Convergence achieved after 3 iterations

Variable	Coefficient	Std. Error	t-Statistic	Prob.
C	19.05010	124.1767	0.153411	0.8784
AR(1)	-0.478224	0.087218	-5.483092	0.0000
R-squared	0.229386	Mean dependent var	26.44164	
Adjusted R-squared	0.221756	S.D. dependent var	2111.688	
S.E. of regression	1862.891	Akaike info criterion	17.91687	
Sum squared resid	3.51E+08	Schwarz criterion	17.96803	
Log likelihood	-920.7190	Hannan-Quinn criter.	17.93760	
F-statistic	30.06430	Durbin-Watson stat	2.057393	
Prob(F-statistic)	0.000000			
Inverted AR Roots	-.48			

الملاحق رقم 06 :

تقدير النموذج : ARIMA

Dependent Variable: D(FARSA)
 Method: Least Squares
 Date: 05/28/16 Time: 02:10
 Sample (adjusted): 2007M03 2015M09
 Included observations: 103 after adjustments
 Convergence achieved after 8 iterations
 MA Backcast: 2007M02

Variable	Coefficient	Std. Error	t-Statistic	Prob.
C	19.73345	93.80679	0.210363	0.8338
AR(1)	-0.146409	0.187001	-0.782931	0.4355
MA(1)	-0.416163	0.174039	-2.391207	0.0187
R-squared	0.244430	Mean dependent var	26.44164	
Adjusted R-squared	0.229319	S.D. dependent var	2111.688	
S.E. of regression	1853.817	Akaike info criterion	17.91658	
Sum squared resid	3.44E+08	Schwarz criterion	17.99331	
Log likelihood	-919.7036	Hannan-Quinn criter.	17.94766	
F-statistic	16.17525	Durbin-Watson stat	1.962587	
Prob(F-statistic)	0.000001			
Inverted AR Roots	-.15			
Inverted MA Roots	.42			